

## Μάθημα 20

# ΕΠΙΚΑΜΠΥΛΙΑ ΚΑΙ ΕΠΙΦΑΝΕΙΑΚΑ ΟΛΟΚΛΗΡΩΜΑΤΑ

### 20.1 Επικαμπύλια ολοκληρώματα

#### 20.1.1 Ορισμός σε διανυσματικό πεδίο

Στο μάθημα αυτό γίνεται μια γενίκευση της μέχρι τώρα γνωστής στον αναγνώστη έννοιας του ορισμένου ολοκληρώματος

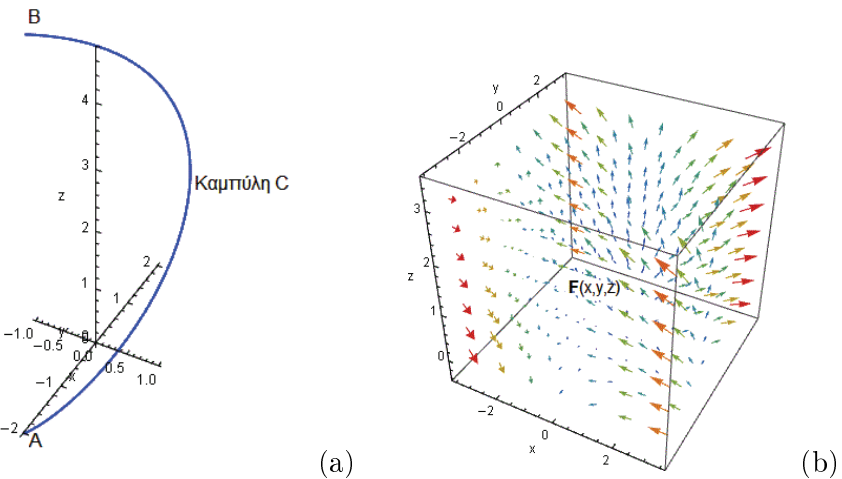
$$\int_{\alpha}^{\beta} f(x)dx,$$

σύμφωνα με την οποία το διάστημα ολοκλήρωσης  $[\alpha, \beta]$  αντικαθίσταται από μια καμπύλη, έστω  $C$  ( $\Sigma\chi.$  20.1.1 - 1a), με πεπερασμένο μήκος, που περιγράφεται από τη διανυσματική συνάρτηση<sup>1</sup>  $\mathbf{r}(t)$ , ενώ η ολοκληρωτέα συνάρτηση  $f(x)$

---

<sup>1</sup>Βλέπε Μάθημα Διανυσματική συνάρτηση - Παραμετρική παράσταση καμπυλών.

από ένα διανυσματικό πεδίο, που περιγράφεται επίσης από μία <sup>2</sup>διανυσματική συνάρτηση, έστω  $\mathbf{F}$  ( $\Sigma\chi.$  20.1.1 - 1b), που ορίζεται επί της  $C$  ( $\Sigma\chi.$  20.1.1 - 2c), δηλαδή τα σημεία  $(x, y)$ , αντίστοιχα  $(x, y, z)$  στα οποία ορίζεται η  $\mathbf{F}$ , είναι επίσης σημεία της  $C$  ( $\Sigma\chi.$  20.1.1 - 2d). Τα ολοκληρώματα αυτά λέγονται τότε **επικαμπύλια και η καμπύλη  $C$  δρόμος ολοκλήρωσης**.



**Σχήμα** 20.1.1 - 1: (a) η καμπύλη  $C$  και (b) το διανυσματικό πεδίο  $\mathbf{F}$ .

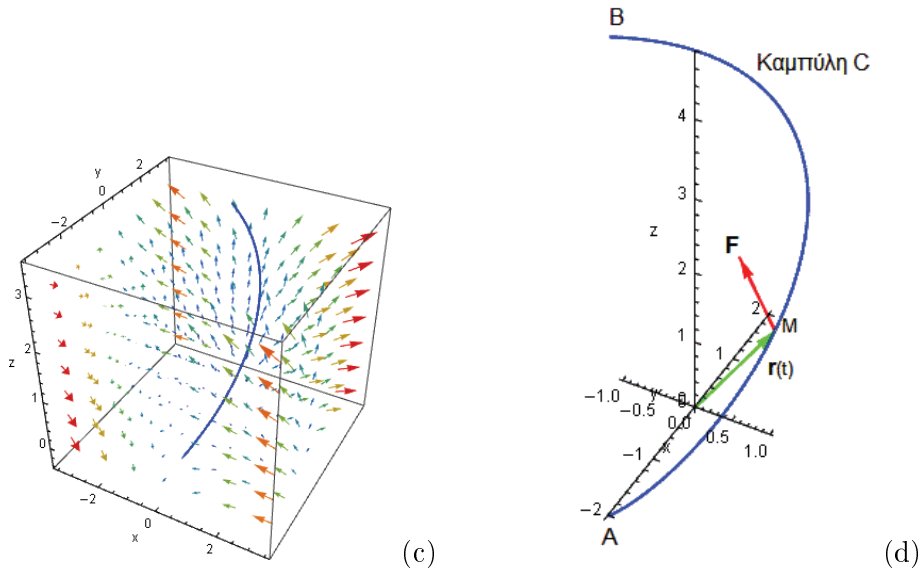
Δίνεται στη συνέχεια ο παρακάτω ορισμός του επικαμπύλιου ολοκληρώματος:

**Ορισμός 20.1.1 - 1 (επικαμπύλιο ολοκλήρωμα).** Έστω  $C$  μία καμπύλη με πεπερασμένο μήκος που περιγράφεται με παραμετρική μορφή από τη διανυσματική συνάρτηση  $\mathbf{r}(t)$  για κάθε  $t \in [\alpha, \beta]$  και ένα διανυσματικό πεδίο, έστω  $\mathbf{F}$ , που είναι ορισμένο επί της  $C$  ( $\Sigma\chi.$  20.1.1 - 2). Τότε το επικαμπύλιο ολοκλήρωμα της  $\mathbf{F}$  επί της  $C$ , συμβολίζεται με

$$\int_C \mathbf{F} \cdot d\mathbf{r}$$

---

<sup>2</sup>Βλέπε Μάθημα Διανυσματικός Διαφορικός Λογισμός - Βαθμωτά και διανυσματικά πεδία.



**Σχήμα 20.1.1 - 2:** (c) το διανυσματικό πεδίο  $\mathbf{F}$  με την καμπύλη  $C$  και (d) το πεδίο  $\mathbf{F}$  επί της  $C$ , δηλαδή, όταν τα σημεία  $(x, y, z)$  στα οποία ορίζεται η διανυσματική συνάρτηση  $\mathbf{F}$ , είναι επίσης σημεία της  $C$ .

και ορίζεται από τον τύπο

$$\int_C \mathbf{F} \cdot d\mathbf{r} = \int_{\alpha}^{\beta} \mathbf{F}[\mathbf{r}(t)] \cdot \mathbf{r}'(t) dt, \quad (20.1.1 - 1)$$

όταν το τελευταίο ολοκλήρωμα υπάρχει.

Αν η καμπύλη  $C$  είναι **κλειστή**, τότε το επικαμπύλιο ολοκλήρωμα κατά μήκος της  $C$  συμβολίζεται με

$$\oint_C \mathbf{F} \cdot d\mathbf{r},$$

όπου στο σύμβολο της ολοκλήρωσης τίθεται πολλές φορές και βέλος για να καθοριστεί η φορά διαγραφής της  $C$ .

Τα επικαμπύλια ολοκληρώματα έχουν πολλές εφαρμογές στις θετικές επιστήμες, όπως:

- στο έργο δυνάμεων,
- τη δυναμική ενέργεια,
- τη ροή θερμότητας,
- την εντροπία,
- τη ροή ρευστών κ.λπ.<sup>3</sup>

### Σημείωση 20.1.1 - 1

Στη βιβλιογραφία τα επικαμπύλια ολοκληρώματα που ορίζονται από ένα διανυσματικό πεδίο επί μιας καμπύλης, είναι επίσης γνωστά και ως επικαμπύλια ολοκληρώματα του 2ου είδους.

### 20.1.2 Τύπος υπολογισμού

Έστω ότι η διανυσματική συνάρτηση που περιγράφει το πεδίο  $\mathbf{F}$ , εκφράζεται συναρτήσει των συντεταγμένων του στον χώρο των 3-διαστάσεων ως εξής:

$$\begin{aligned} \mathbf{F}(x, y, z) &= P(x, y, z)\mathbf{i} + Q(x, y, z)\mathbf{j} + R(x, y, z)\mathbf{k} \\ &= \langle P(x, y, z), Q(x, y, z), R(x, y, z) \rangle \end{aligned} \quad (20.1.2 - 1)$$

ενώ η <sup>4</sup>διανυσματική συνάρτηση  $\mathbf{r}$  ως

$$\mathbf{r} = x\mathbf{i} + y\mathbf{j} + z\mathbf{k}. \quad (20.1.2 - 2)$$

Υπενθυμίζεται στο σημείο αυτό ότι: αν  $\mathbf{a} = \langle a_1, a_2, a_3 \rangle$  και  $\mathbf{b} = \langle b_1, b_2, b_3 \rangle$  είναι δύο μη μηδενικά διανύσματα, τότε το **εσωτερικό γινόμενο**  $\mathbf{a} \cdot \mathbf{b}$  υπολογίζεται από τον τύπο

$$\mathbf{a} \cdot \mathbf{b} = a_1 b_1 + a_2 b_2 + a_3 b_3. \quad (20.1.2 - 3)$$

---

<sup>3</sup>Ο αναγνώστης, για μια εκτενέστερη μελέτη, παραπέμπεται στη βιβλιογραφία [1, 2, 3, 4, 5, 6] και στη μαθηματική βάση δεδομένων [http://en.wikipedia.org/wiki/Line\\_integral](http://en.wikipedia.org/wiki/Line_integral)

<sup>4</sup>Βλέπε Μάθημα Διανυσματική συνάρτηση.

Τότε σύμφωνα με τις (20.1.2 – 1) και (20.1.2 – 2) λαμβάνοντας υπόψη και τον τύπο (20.1.2 – 3) το ολοκλήρωμα (20.1.1 – 1) γράφεται

$$\begin{aligned} \int_C \mathbf{F}(t) \cdot d\mathbf{r} &= \int_C (P\mathbf{i} + Q\mathbf{j} + R\mathbf{k}) \cdot (dx\mathbf{i} + dy\mathbf{j} + dz\mathbf{k}) \\ &= \int_C P dx + Q dy + R dz, \end{aligned} \quad (20.1.2 - 4)$$

ενώ, αν

$$\mathbf{F}(x, y) = P(x, y)\mathbf{i} + Q(x, y)\mathbf{j},$$

η αντίστοιχη της (20.1.2 – 4) έκφραση στον χώρο των 2-διαστάσεων είναι

$$\begin{aligned} \int_C \mathbf{F}(t) \cdot d\mathbf{r} &= \int_C (P\mathbf{i} + Q\mathbf{j}) \cdot (dx\mathbf{i} + dy\mathbf{j}) \\ &= \int_C P dx + Q dy. \end{aligned} \quad (20.1.2 - 5)$$

Σύμφωνα με την υποσημείωση 4 η παραμετρική παράσταση της καμπύλης  $C$  θα ορίζεται από τη διανυσματική συνάρτηση  $\mathbf{r}(t)$  και θα είναι της μορφής

$$\begin{aligned} \mathbf{r}(t) &= x(t)\mathbf{i} + y(t)\mathbf{j} + z(t)\mathbf{k} \\ &= \langle x(t), y(t), z(t) \rangle, \quad \text{όταν } t \in [\alpha, \beta]. \end{aligned} \quad (20.1.2 - 6)$$

Αντικαθιστώντας στην (20.1.2 – 1) τα  $x, y, z$  με τις αντίστοιχες παραμετρικές έκφρασεις τους  $x(t), y(t)$  και  $z(t)$ , που δίνονται από την (20.1.2 – 6), προκύπτει η παρακάτω παραμετρική έκφραση του διανυσματικού πεδίου:

$$\begin{aligned} \mathbf{F}(t) = \mathbf{F}(x(t), y(t), z(t)) &= \langle P(x(t), y(t), z(t)), Q(x(t), y(t), z(t)), \\ &\quad R(x(t), y(t), z(t)) \rangle. \end{aligned} \quad (20.1.2 - 7)$$

Υποθέτοντας ότι οι συναρτήσεις  $x(t), y(t)$  και  $z(t)$  είναι παραγωγίσιμες για κάθε  $t \in [\alpha, \beta]$ , από την (20.1.2 – 6) έχουμε

$$\begin{aligned} \mathbf{r}'(t) &= x'(t)\mathbf{i} + y'(t)\mathbf{j} + z'(t)\mathbf{k} \\ &= \langle x'(t), y'(t), z'(t) \rangle, \quad \text{όταν } t \in [\alpha, \beta]. \end{aligned} \quad (20.1.2 - 8)$$

Σύμφωνα με τις (20.1.2 – 7) και (20.1.2 – 8), λαμβάνοντας υπόψη και τον γδη γνωστό τύπο (20.1.2 – 3) υπολογισμού του εσωτερικού γινομένου

$$\mathbf{a} \cdot \mathbf{b} = a_1 b_1 + a_2 b_2 + a_3 b_3,$$

η ολοκληρωτέα συνάρτηση στην (20.1.1 – 1), δηλαδή στην

$$\int_C \mathbf{F} \cdot d\mathbf{r} = \int_{\alpha}^{\beta} \mathbf{F} [\mathbf{r}(t)] \cdot \mathbf{r}'(t) dt,$$

γράφεται

$$\begin{aligned} \mathbf{F}(t) \cdot \mathbf{r}'(t) &= P(x(t), y(t), z(t)) \mathbf{x}'(t) + Q(x(t), y(t), z(t)) \mathbf{y}'(t) \\ &\quad + R(x(t), y(t), z(t)) \mathbf{z}'(t) \\ &= P(t) \mathbf{x}'(t) + Q(t) \mathbf{y}'(t) + R(t) \mathbf{z}'(t). \end{aligned} \quad (20.1.2 - 9)$$

Τότε από την (20.1.2 – 9) προκύπτει ο παρακάτω τύπος υπολογισμού του επικαμπύλιου ολοκληρώματος (20.1.1 – 1) για τον χώρο των 3-διαστάσεων

$$\int_C \mathbf{F} \cdot d\mathbf{r} = \int_{\alpha}^{\beta} [P(t)x'(t) + Q(t)y'(t) + R(t)z'(t)] dt, \quad (20.1.2 - 10)$$

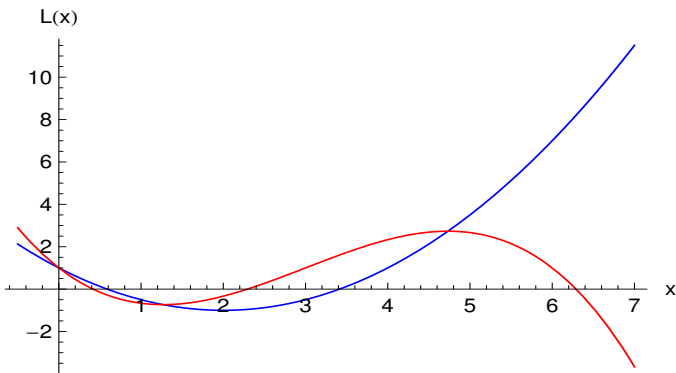
ενώ, αν

$$\mathbf{F}(x, y) = P(x, y)\mathbf{i} + Q(x, y)\mathbf{j},$$

ο αντίστοιχος τύπος για τον χώρο των 2-διαστάσεων είναι

$$\int_C \mathbf{F} \cdot d\mathbf{r} = \int_{\alpha}^{\beta} [P(t)x'(t) + Q(t)y'(t)] dt. \quad (20.1.2 - 11)$$

Κρίνεται απαραίτητο στο σημείο αυτό να γίνει υπενθύμιση των παρακάτω χρήσιμων για τα επόμενα παραμετρικών παραστάσεων:



**Σχήμα 20.1.2 - 1:** παραμετρική παράσταση ευθείας.

### Ευθεία

Οι παραμετρικές μορφές των  $x(t)$ ,  $y(t)$ , αντίστοιχα  $x(t)$ ,  $y(t)$ ,  $z(t)$  της παραμετρικής εξίσωσης του **ευθύγραμμου τμήματος**  $M_1M_2$  για την περίπτωση του χώρου των

- **2-διαστάσεων**, όταν  $M_1(x_1, y_1)$  η αρχή και  $M_2(x_2, y_2)$  το τέλος, είναι

$$\begin{aligned} x(t) &= tx_2 + (1-t)x_1, \\ y(t) &= ty_2 + (1-t)y_1 \quad \text{με } t \in [0, 1]. \end{aligned} \quad (20.1.2 - 12)$$

- **3-διαστάσεων**, όταν  $M_1(x_1, y_1, z_1)$  - αρχή και  $M_2(x_2, y_2, z_2)$  - τέλος ( $\Sigma\chi.$  20.1.2 - 1), είναι

$$\begin{aligned} x(t) &= tx_2 + (1-t)x_1, \\ y(t) &= ty_2 + (1-t)y_1, \\ z(t) &= tz_2 + (1-t)z_1 \quad \text{με } t \in [0, 1]. \end{aligned} \quad (20.1.2 - 13)$$

### Περιφέρεια κύκλου

Έστω αρχικά ότι το κέντρο του κύκλου συμπίπτει με την αρχή των αξόνων. Τότε, αν  $R$  η ακτίνα, η εξίσωση των σημείων της περιφέρειας γράφεται

$$x^2 + y^2 = R^2,$$

οπότε παραμετρικές μορφές των  $x(t)$  και  $y(t)$  είναι

$$x(t) = R \cos t \quad \text{και}$$

$$y(t) = R \sin t \quad \text{με } t \in [0, 2\pi]. \quad (20.1.2 - 14)$$

Αν το κέντρο του κύκλου είναι το σημείο  $(\alpha, \beta)$ , τότε η εξίσωση των σημείων της περιφέρειας γράφεται

$$(x - \alpha)^2 + (y - \beta)^2 = R^2,$$

οπότε

$$x(t) = \alpha + R \cos t \quad \text{και}$$

$$y(t) = \beta + R \sin t \quad \text{με } t \in [0, 2\pi]. \quad (20.1.2 - 15)$$

### Σημείωση 20.1.2 - 1

Σε κάθε άλλη διαφορετική των παραπάνω περίπτωση η παραμετρική παράσταση της καμπύλης  $C$  θα δίνεται.

### Παράδειγμα 20.1.2 - 1

Να υπολογιστεί το επικαμπύλιο ολοκλήρωμα  $\int_C \mathbf{F} \cdot d\mathbf{r}$ , όταν

$$\mathbf{F} = x\mathbf{i} - y\mathbf{j} + (xz + y)\mathbf{k}$$

και  $C$  το ευθύγραμμο τμήμα  $AB$  με αρχή το  $A(1, -1, 2)$  και τέλος το  $B(3, 1, -1)$ .

**Λύση.** Έστω

$$A(x_1, y_1, z_1), \quad \text{όπου } x_1 = 1, \quad y_1 = -1, \quad z_1 = 2, \quad \text{και}$$

$$B(x_2, y_2, z_2) \quad x_2 = 3, \quad y_2 = 1, \quad z_2 = -1.$$

Τότε το ευθύγραμμο τμήμα  $AB$  σύμφωνα με τον τύπο (20.1.2 – 13):

$$\begin{aligned}x(t) &= tx_2 + (1-t)x_1, \\y(t) &= ty_2 + (1-t)y_1, \\z(t) &= tz_2 + (1-t)z_1 \quad \text{με } t \in [0, 1]\end{aligned}$$

εκφράζεται παραμετρικά ως εξής:

$$x(t) = t \cdot 3 + (1-t) \cdot 1 = 2t + 1 \quad (1)$$

$$y(t) = t \cdot 1 + (1-t) \cdot (-1) = 2t - 1 \quad (2)$$

$$z(t) = t \cdot (-1) + (1-t) \cdot 2 = -3t + 2, \quad \text{όταν } t \in [0, 1]. \quad (3)$$

Επομένως

$$x'(t) = 2 \quad (4)$$

$$y'(t) = 2 \quad (5)$$

$$z'(t) = -3. \quad (6)$$

Από το διανυσματικό πεδίο

$$\mathbf{F} = x\mathbf{i} - y\mathbf{j} + (xz + y)\mathbf{k} = P(x, y, z)\mathbf{i} + Q(x, y, z)\mathbf{j} + R(x, y, z)\mathbf{k}.$$

προκύπτει ότι:  $P = x$ ,  $Q = -y$  και  $R = xz + y$ .

Άρα σύμφωνα με τις (1)-(3) έχουμε

$$\begin{aligned}P(t) &= x = 2t + 1, \\Q(t) &= -y = -2t + 1, \quad \text{και} \\R(t) &= xz + y = (2t + 1)(-3t + 2) + 2t - 1 \\&= -6t^2 + 3t + 1.\end{aligned}$$

Αντικαθιστώντας τις παραπάνω εκφράσεις στον τύπο (20.1.2–10) προκύπτει

ότι

$$\begin{aligned}
 \int_{AB} \mathbf{F} \cdot d\mathbf{r} &= \int_0^1 [P(t)x'(t) + Q(t)y'(t) + R(t)z'(t)] dt, \\
 &= \int_0^1 \left[ (2t+1) \cdot \overbrace{2}^{\text{Eξ. (4)}} + (-2t+1) \cdot \overbrace{2}^{\text{Eξ. (5)}} \right. \\
 &\quad \left. + (-6t^2 + 3t + 1) \cdot \overbrace{(-3)}^{\text{Eξ. (6)}} \right] dt \\
 &= t - \frac{9t^2}{2} + 6t^3 \Big|_0^1 = \frac{5}{2}.
 \end{aligned}$$

Ο υπολογισμός με το MATHEMATICA γίνεται με το παρακάτω πρόγραμμα:

**Πρόγραμμα 20.1.2 - 1 (επικαμπύλιου ολοκληρώματος 2ου είδους)**

```

x1 = 1; y1 = 1; x2 = 2; y2 = 3; z1=2; z2=-1;
x[t_] := t x2 + (1 - t) x1
y[t_] := t y2 + (1 - t) y1
y[t_] := t z2 + (1 - t) z1
Print["x(t) = ", x[t], " , y(t) = ", y[t], " , z(t) =", z[t]]
xd[t_] := D[x[t], t]; yd[t_] := D[y[t], t]; zd[t_] := D[z[t], t];
Print["x'(t) = ", xd[t], " , y'(t) = ", yd[t], " , z'(t) = ", zd[t]]
P[t_] := y[t]; Q[t_] := -y[t]; R[t_] := x[t] z[t] + y[t]
Print["P(t) = ", Simplify[P[t]]]
Print["Q(t) = ", Simplify[Q[t]]]
Print["R(t) = ", Simplify[R[t]]]
Print["P(t)x'(t)+Q(t)y'(t) =",
Simplify[P[t] xd[t] + Q[t] yd[t] + R[t] zd[t]]]
w = Integrate[P[t] xd[t] + Q[t] yd[t] + R[t] zd[t], {t, 0, 1}];
Print["Linear Integral: ", w]

```

**Παράδειγμα 20.1.2 - 2**

Όμοια το επικαμπύλιο ολοκλήρωμα  $\int_C \mathbf{F} \cdot d\mathbf{r}$ , όταν

$$\mathbf{F} = (x-y)\mathbf{i} + (x+y)\mathbf{j}$$

και  $C$  η περιφέρεια του μοναδιαίου κύκλου με κέντρο  $(0,0)$ , όταν η περιφέρεια διαγράφεται δεξιόστροφα, δηλαδή αντίθετη της κίνησης των δεικτών του ρολογιού.

**Λύση.** Επειδή ο κύκλος είναι μοναδιαίς, πρέπει  $R = 1$ . Τότε σύμφωνα με τον τύπο (20.1.2–14) η περιφέρεια έχει την παρακάτω παραμετρική παράσταση:

$$x(t) = \cos t, \quad \text{και} \quad (1)$$

$$y(t) = \sin t \quad \text{με} \quad t \in [0, 2\pi], \quad (2)$$

οπότε

$$x'(t) = -\sin t, \quad \text{και} \quad (3)$$

$$y'(t) = \cos t. \quad (4)$$

Το διανυσματικό πεδίο γράφεται

$$\mathbf{F} = (x-y)\mathbf{i} + (x+y)\mathbf{j} = P(x,y)\mathbf{i} + Q(x,y)\mathbf{j},$$

οπότε  $P = x - y$  και  $Q = x + y$ .

Άρα σύμφωνα με τις (1) και (2) προκύπτει ότι

$$P(t) = x - y = \cos t - \sin t, \quad \text{και}$$

$$Q(t) = x + y = \cos t + \sin t.$$

Τότε από τον τύπο (20.1.2 – 11) έχουμε

$$\begin{aligned} \oint \mathbf{F} \cdot d\mathbf{r} &= \int_0^{2\pi} [P(t)x'(t) + Q(t)y'(t)] dt \\ &= \int_0^{2\pi} \left[ (\cos t - \sin t) \cdot \overbrace{(-\sin t)}^{\text{Eξ. (3)}} + (\cos t + \sin t) \cdot \overbrace{\cos t}^{\text{Eξ. (4)}} \right] dt \\ &= \int_0^{2\pi} (\sin^2 t + \cos^2 t) dt = \int_0^{2\pi} dt = 2\pi. \end{aligned}$$

■

### 20.1.3 Ιδιότητες

Τα επικαμπύλια ολοκληρώματα έχουν ιδιότητες ανάλογες με εκείνες των ήδη γνωστών ολοκληρωμάτων. Οι βασικότερες από αυτές που δίνονται στη συνέχεια με τη μορφή θεωρημάτων είναι:

**Θεώρημα 20.1.3 - 1 (γραμμική).** Έστω  $\mathbf{F}$  και  $\mathbf{G}$  διανυσματικά πεδία, που είναι ορισμένα επί μιας καμπύλης  $C$  με πεπερασμένο μήκος και παραμετρική παράσταση  $\mathbf{r}(t)$  για κάθε  $t \in [\alpha, \beta]$ . Τότε, αν τα επικαμπύλια ολοκληρώματα των  $\mathbf{F}$  και  $\mathbf{G}$  επί της  $C$  υπάρχουν, για κάθε  $k, \lambda \in \mathbb{R}$  ισχύει ότι

$$\int_C (k\mathbf{F} + \lambda\mathbf{G}) \cdot d\mathbf{r} = k \int_C \mathbf{F} \cdot d\mathbf{r} + \lambda \int_C \mathbf{G} \cdot d\mathbf{r}$$

Η ιδιότητα γενικεύεται.

**Θεώρημα 20.1.3 - 2 (προσθετική).** Έστω  $\mathbf{F}$  διανυσματικό πεδίο, που είναι ορισμένο επί μιας καμπύλης  $C$  με πεπερασμένο μήκος και παραμετρική παράσταση  $\mathbf{r}(t)$  για κάθε  $t \in [\alpha, \beta]$ . Τότε, αν  $C_1$  και  $C_2$  είναι δύο διαφορετικά τόξα της  $C$ , τέτοια ώστε το άθροισμά τους να είναι η  $C$  και να διαγράφονται από το ίδιο διάνυσμα  $\mathbf{r}(t)$  που διαγράφεται και η  $C$ , ισχύει ότι

$$\int_C \mathbf{F} \cdot d\mathbf{r} = \int_{C_1} \mathbf{F} \cdot d\mathbf{r} + \int_{C_2} \mathbf{F} \cdot d\mathbf{r}.$$

Η ιδιότητα γενικεύεται για ν το πλήθος επιμέρους τόξα της  $C$ .

**Θεώρημα 20.1.3 - 3.** Έστω  $\mathbf{F}$  διανυσματικά πεδίο, που είναι ορισμένο επί μιας καμπύλης  $C$  με πεπερασμένο μήκος και παραμετρική παράσταση  $\mathbf{r}(t)$  για κάθε  $t \in [\alpha, \beta]$ . Τότε το επικαμπύλιο ολοκλήρωμα παραμένει αμετάβλητο σε μία αλλαγή της παραμέτρου  $t$ , που διατηρεί τον προσανατολισμό της  $C$  και αλλάζει πρόσημο, όταν η αλλαγή αυτή αντιστρέψει τον προσανατολισμό, δηλαδή

$$\int_{-C} \mathbf{F} \cdot d\mathbf{r} = - \int_C \mathbf{F} \cdot d\mathbf{r}.$$

Η ιδιότητα αυτή εκφράζει την ανεξαρτησία του επικαμπύλιου ολοκληρώματος από την εκλογή της παραμέτρου.

#### 20.1.4 Σχέση επικαμπύλιου ολοκληρώματος και αλίσης

Το επικαμπύλιο ολοκλήρωμα

$$\int_C \mathbf{F} \cdot d\mathbf{r}$$

δεν είναι γενικά ανεξάρτητο από τον δρόμο της ολοκλήρωσης  $C$ , δηλαδή, αν υποτεθεί ότι η  $C$  έχει αρχή το σημείο  $A$  και τέλος το  $B$ , τότε η τιμή του, όταν ο δρόμος είναι το ευθύγραμμο τμήμα  $AB$ , είναι διαφορετική εκείνης, όταν ο δρόμος είναι μια οποιαδήποτε άλλη καμπύλη με αρχή το  $A$  και τέλος το  $B$ .

Τα παραπάνω δεν ισχύουν και το επικαμπύλιο ολοκλήρωμα έχει την ίδια τιμή ανεξάρτητα του τρόπου διαγραφής της  $C$  από το  $A$  στο  $B$ , μόνον όταν το διανυσματικό πεδίο  $\mathbf{F}$  είναι συντηρητικό.<sup>5</sup>

Σχετικά αποδεικνύεται το παρακάτω θεώρημα:

---

5

**Ορισμός (συντηρητικό πεδίο).** Το διανυσματικό πεδίο που περιγράφεται από τη διανυσματική συνάρτηση  $\mathbf{F}$  θα λέγεται **συντηρητικό**, όταν

$$\mathbf{F} = \nabla \varphi.$$

Βλέπε Μάθημα Διανυσματικός Διαφορικός Λογισμός - Συντηρούμενα πεδία.

**Θεώρημα 20.1.4 - 1** (ανεξαρτησίας επικαμπύλιου ολοκληρώματος).

Έστω

$$\mathbf{F} = \nabla \varphi,$$

όπου  $\varphi$  βαθμωτή συνάρτηση της οποίας υπάρχουν τουλάχιστον οι 1ης τάξης μερικές παράγωγοι και είναι συνεχείς συναρτήσεις.

Τότε το επικαμπύλιο ολοκλήρωμα

$$\int_C \mathbf{F} \cdot d\mathbf{r}, \quad (20.1.4 - 1)$$

όταν  $C$  η καμπύλη από το σημείο  $A(x_1, y_1, z_1)$  στο  $B(x_2, y_2, z_2)$  του πεδίου, είναι ανεξάρτητο από τον δρόμο της ολοκλήρωσης και ισχύει

$$\int_C \mathbf{F} \cdot d\mathbf{r} = \int_{A(x_1, y_1, z_1)}^{B(x_2, y_2, z_2)} d\phi = \phi(x_2, y_2, z_2) - \phi(x_1, y_1, z_1). \quad (20.1.4 - 2)$$

**Αντίστροφα:** αν το επικαμπύλιο ολοκλήρωμα (20.1.4-1) είναι ανεξάρτητο από τον δρόμο της ολοκλήρωσης, τότε υπάρχει μία βαθμωτή συνάρτηση, έστω  $\varphi$ , έτσι ώστε  $\mathbf{F} = \nabla \varphi$ .

Άμεση συνέπεια του παραπάνω θεωρήματος είναι το:

**Πόρισμα 20.1.4 - 1.** Το επικαμπύλιο ολοκλήρωμα ενός συντηρητικού διανυσματικού πεδίου κατά μήκος μιας κλειστής καμπύλης είναι μηδέν.

Κρίνεται απαραίτητο στο σημείο αυτό για ευκολία των παρακάτω ασκήσεων, να γίνει υπενθύμιση των παρακάτω εννοιών:<sup>6</sup>

**Ορισμός 20.1.4 - 2.** Έστω ένα διανυσματικό πεδίο που περιγράφεται από τη διανυσματική συνάρτηση  $\mathbf{F}$ . Τότε το πεδίο θα λέγεται **αστρόβιλο** (*irrotational field*), όταν ισχύει

$$\nabla \times \mathbf{F} = \mathbf{0}. \quad (20.1.4 - 3)$$

**Θεώρημα 20.1.4 - 2.** Ένα διανυσματικό πεδίο είναι αστρόβιλο, όταν είναι συντηρητικό και αντίστροφα.

---

<sup>6</sup>Βλέπε επίσης Μάθημα Διανυσματικός Διαφορικός Λογισμός - Αστρόβιλα πεδία.

### Παρατήρηση 20.1.4 - 1

Αν στην αναλυτική περιγραφή του διανυσματικού πεδίου  $\mathbf{F}$  λείπει κάποια συνιστώσα, τότε στον υπολογισμό του στροβιλισμού  $\nabla \times \mathbf{F}$  η συνιστώσα αυτή υπολογίζεται με την τιμή της ίση με το 0.

### Παράδειγμα 20.1.4 - 1

Έστω το διανυσματικό πεδίο ( $\Sigma\chi$ . 20.1.4 - 1a)

$$\mathbf{F} = 2xy\mathbf{i} + (x^2 + 2y^2)\mathbf{j}.$$

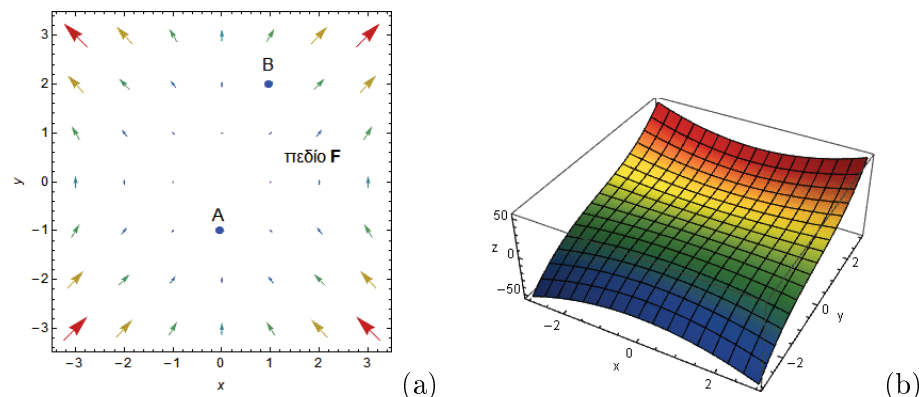
Δείξτε ότι

- i) το πεδίο  $\mathbf{F}$  είναι συντηρητικό.
- ii) Στη συνέχεια να υπολογιστεί το επικαμπύλιο ολοκλήρωμα

$$\int_C \mathbf{F} \cdot d\mathbf{r},$$

όταν  $C$  ο δρόμος ολοκλήρωσης από το σημείο  $A(0, -1)$  στο  $B(1, 2)$ .

**Λύση.**



**Σχήμα 20.1.4 - 1:** (a) το διανυσματικό πεδίο  $\mathbf{F} = 2xy\mathbf{i} + (x^2 + 2y^2)\mathbf{j}$  και τα σημεία  $A(0, -1)$ ,  $B(1, 2)$  και (b) το δυναμικό  $\phi(x, y) = x^2y + y^3$ .

- i) Σύμφωνα με τα Θεωρήματα 20.1.4 - 1 - 20.1.4 - 2 και τον Ορισμό 20.1.4 - 2 αρκεί να δειχθεί ότι

$$\nabla \times \mathbf{F} = \mathbf{0}.$$

Αν

$$\mathbf{F} = 2xy\mathbf{i} + (x^2 + 2y^2)\mathbf{j} + \mathbf{0}\mathbf{k}$$

(υποχρεωτικά η συνιστώσα που λείπει πρέπει να είναι

ίση με μηδέν - Παρατήρηση 20.1.4 - 1)

$$= P(x, y, z)\mathbf{i} + Q(x, y, z)\mathbf{j} + R(x, y, z)\mathbf{k},$$

τότε

$$P = 2xy, \quad Q = x^2 + 2y^2 \quad \text{και} \quad R = 0. \quad (1)$$

Επομένως

$$\begin{aligned} \nabla \times \mathbf{F} &= \begin{vmatrix} \mathbf{i} & \mathbf{j} & \mathbf{k} \\ \frac{\partial}{\partial x} & \frac{\partial}{\partial y} & \frac{\partial}{\partial z} \\ P & Q & R \end{vmatrix} = \begin{vmatrix} \mathbf{i} & \mathbf{j} & \mathbf{k} \\ \frac{\partial}{\partial x} & \frac{\partial}{\partial y} & \frac{\partial}{\partial z} \\ 2xy & x^2 + 2y^2 & \mathbf{0} \end{vmatrix} \\ &= (0 - Q_z)\mathbf{i} + (P_z - 0)\mathbf{j} + (Q_x - P_y)\mathbf{k} = \mathbf{0}. \end{aligned}$$

Τότε από το Θεώρημα 20.1.4 - 2 προκύπτει ότι το πεδίο  $\mathbf{F}$  είναι συντηρητικό, δηλαδή

$$\mathbf{F} = \nabla \varphi,$$

όπου  $\varphi$  το δυναμικό.

- ii) Εφόσον το πεδίο είναι συντηρητικό, για τον υπολογισμό του επικαμπύλιου ολοκληρώματος πρέπει να υπολογιστεί το δυναμικό του.

### Υπολογισμός του δυναμικού

Σύμφωνα με την (i), αν

$$\begin{aligned}\mathbf{F} &= P \mathbf{i} + Q \mathbf{j} + R \mathbf{k} \\ &= \nabla \varphi = \varphi_x \mathbf{i} + \varphi_y \mathbf{j} + \varphi_z \mathbf{k},\end{aligned}$$

τότε από την (1) προκύπτει ότι

$$\varphi_x = P = 2x y \quad \varphi_y = Q = x^2 + 3y^2 \quad \text{και} \quad \varphi_z = R = 0.$$

Για να προσδιοριστεί το δυναμικό  $\varphi$ , πρέπει να ολοκληρωθούν οι παραπάνω σχέσεις ως προς  $x$ ,  $y$  και  $z$  αντίστοιχα. Αυτό γίνεται με τη βοήθεια του ολικού διαφορικού της  $\varphi$  ως εξής:

$$\begin{aligned}d\varphi &= \varphi_x dx + \varphi_y dy + 0 dz \\ &= 2xy dx + (x^2 + 3y^2) dy \\ &= d_x(x^2y) + d_y(x^2y + y^3) \\ &\quad \overbrace{\phantom{d_x(x^2y)}}^{d_x(y^3)=0} \\ &= d_x(x^2y + \underbrace{y^3}_{}) + d_y(x^2y + y^3) \\ &= d(x^2y + y^3).\end{aligned}$$

Επομένως το δυναμικό του πεδίου  $\mathbf{F}$  είναι

$$\phi(x, y) = x^2y + y^3 + c,$$

όταν  $c$  σταθερά ( $\Sigma\chi$ . 20.1.4 - 1b).

Άρα από το Θεώρημα 20.1.4 - 1 και τον τύπο (20.1.4 - 2) έχουμε

$$\int_C \mathbf{F} \cdot d\mathbf{r} = \int_{A(0,-1)}^{B(1,2)} d\varphi = \varphi(1, 2) - \varphi(0, -1) = 11.$$

■

**Παράδειγμα 20.1.4 - 2**

Όμοια το επικαμπύλιο ολοκλήρωμα  $\int_C \mathbf{F} \cdot d\mathbf{r}$ , όταν

$$\mathbf{F} = 3x^2z\mathbf{i} + z^2\mathbf{j} + (x^3 + 2yz)\mathbf{k}.$$

και  $C$  ο δρόμος ολοκλήρωσης από το σημείο  $A(-1, 1, 2)$  στο  $B(1, 2, 4)$ .

**Λύση.** Σύμφωνα με το Παράδειγμα 20.1.4 - 1, αν

$$\begin{aligned}\mathbf{F} &= 3x^2z\mathbf{i} + z^2\mathbf{j} + (x^3 + 2yz)\mathbf{k} \\ &= P(x, y, z)\mathbf{i} + Q(x, y, z)\mathbf{j} + R(x, y, z)\mathbf{k},\end{aligned}$$

τότε

$$P = 3x^2z, \quad Q = z^2 \quad \text{και} \quad R = x^3 + 2yz. \quad (2)$$

Επομένως

$$\begin{aligned}\nabla \times \mathbf{F} &= \begin{vmatrix} \mathbf{i} & \mathbf{j} & \mathbf{k} \\ \frac{\partial}{\partial x} & \frac{\partial}{\partial y} & \frac{\partial}{\partial z} \\ P & Q & R \end{vmatrix} = \begin{vmatrix} \mathbf{i} & \mathbf{j} & \mathbf{k} \\ \frac{\partial}{\partial x} & \frac{\partial}{\partial y} & \frac{\partial}{\partial z} \\ 3x^2z & z^2 & x^3 + 2yz \end{vmatrix} \\ &= (R_y - Q_z)\mathbf{i} + (P_z - R_x)\mathbf{j} + (Q_x - P_y)\mathbf{k} = \mathbf{0},\end{aligned}$$

οπότε όμοια σύμφωνα με το γνωστό Θεώρημα 20.1.4 - 2 το πεδίο  $\mathbf{F}$  είναι συντηρητικό.

**Υπολογισμός του δυναμικού**

Έστω

$$\mathbf{F} = P\mathbf{i} + Q\mathbf{j} + R\mathbf{k} = \nabla\varphi = \varphi_x\mathbf{i} + \varphi_y\mathbf{j} + \varphi_z\mathbf{k},$$

τότε σύμφωνα με τη (2) είναι

$$\varphi_x = 3x^2z, \quad \varphi_y = z^2 \quad \text{και} \quad \varphi_z = x^3 + 2yz.$$

Ολοκληρώνοντας τις παραπάνω σχέσεις ως προς  $x, y$  και  $z$  προκύπτει ότι

$$\begin{aligned}
 d\varphi &= \varphi_x dx + \varphi_y dy + \varphi_z dz \\
 &= 3x^2z dx + z^2 dy + (x^3 + 2yz) dz \\
 &= d_x(x^3z) + d_y(yz^2) + d_z(x^3z + y^2z) \\
 &\quad \stackrel{d_x(y^2z)=0}{=} \quad \stackrel{d_y(x^3z)=0}{=} \\
 &= d_x(x^3z + \overbrace{y^2z}^{d_x(y^2z)=0}) + d_y(yz^2 + \overbrace{x^3z}^{d_y(x^3z)=0}) + d_z(x^3z + y^2z) \\
 &= d(x^3z + y^2z).
 \end{aligned}$$

Άρα το δυναμικό του πεδίου  $\mathbf{F}$  είναι

$$\phi(x, y, z) = x^3z + y^2z + c,$$

όταν  $c$  σταθερά

Τότε σύμφωνα με το Θεώρημα 20.1.4 - 1 και τον τύπο (20.1.4 - 2) έχουμε

$$\int_C \mathbf{F} \cdot d\mathbf{r} = \int_{A(-1,1,2)}^{B(1,2,4)} d\varphi = \varphi(1, 2, 4) - \varphi(-1, 1, 2) = 6.$$

■

## Ασκήσεις

1. Αφού πρώτα δειχθεί ότι τα παρακάτω πεδία είναι συντηρούμενα, στη συνέχεια να υπολογιστεί το επικαμπύλιο ολοκλήρωμα

$$\int_C \mathbf{F} \cdot d\mathbf{r},$$

όταν το  $C$  είναι το ευθύγραμμο τμήμα  $AB$  και  $\mathbf{F}$ :

- i)  $y^4z^2 \mathbf{i} + 4xy^3z^2 \mathbf{j} + 2xy^4z \mathbf{k}$  από το σημείο  $A(-1, 2, 4)$  στο  $B(3, 2, 2)$ ,
- ii)  $(y\mathbf{i} + x\mathbf{j}) e^{xy}$  από το  $A(1, 0)$  στο  $B(2, 2)$ ,

- iii)  $(4xy - 3x^2z^2) \mathbf{i} + 2x^2 \mathbf{j} - 2x^3z \mathbf{k}$  από το  $A(0, 1, 1)$  στο  $B(2, 2, 4)$ ,
- iv)  $(2x \cos y + z \sin y) \mathbf{i} + (xz \cos y - x^2 \sin y) \mathbf{j} + x \sin y \mathbf{k}$  από το  $(1, \pi, 3)$  στο  $(-1, 0, 1)$ ,
- v)  $(y^2z^3 \cos x - 4x^3z) \mathbf{i} + 2yz^3 \sin x \mathbf{j} + (3y^2z^2 \sin x - x^4) \mathbf{k}$  από το  $(\pi/2, 1, 1)$  στο  $(\pi, 3, 3)$ .

2. Να προσδιοριστεί το δυναμικό των πεδίων:

$$i) \mathbf{E} = r \mathbf{r} \quad ii) \mathbf{E} = r^2 \mathbf{r},$$

όταν  $\mathbf{r}$  διάνυσμα θέσης. Στη συνέχεια να υπολογιστεί το ολοκλήρωμα

$$I = \int_C \mathbf{E} \cdot d\mathbf{r},$$

όταν  $C$  το άνω τμήμα της περιφέρειας  $x^2 + y^2 = 4$ .

## Απαντήσεις

1. Το αντίστοιχο δυναμικό  $\phi$  είναι:

- (i)  $xy^4z^2$ , (ii)  $e^{xy}$  (αρχικά  $P = ye^{xy}$ ,  $Q = xe^{xy}$ ,  $R = 0$ ), (iii)  $2x^2y - x^3z^2$ ,  
 (iv)  $x^2 \cos y + xz \sin y$ , (v)  $y^2z^3 \sin x - x^4z$ .

2. Είναι  $\mathbf{r} = x \mathbf{i} + y \mathbf{j} + z \mathbf{k}$ , οπότε  $r = \sqrt{x^2 + y^2 + z^2}$ . Τότε:

(i)  $\phi_x = x \sqrt{x^2 + y^2 + z^2}$ ,  $\phi_y = y \sqrt{x^2 + y^2 + z^2}$  και  $\phi_z = z \sqrt{x^2 + y^2 + z^2}$ , οπότε τελικά  $\phi(x, y, z) = \frac{1}{3} \sqrt{x^2 + y^2 + z^2}$ . Για τον υπολογισμό του ολοκληρώματος έχουμε ως δρόμο ολοκλήρωσης το άνω μέρος της περιφέρειας ακτίνας  $R = 2$  από το σημείο  $A(2, 0)$  στο  $B(-2, 0)$ . Επειδή  $z = 0$ , πρέπει  $\phi(x, y) = \frac{1}{3} \sqrt{x^2 + y^2}$ . Τότε σύμφωνα με το Θεώρημα 20.1.4 - 1 και τον τύπο (20.1.4 - 2) έχουμε

$$I = \int_C \mathbf{E} \cdot d\mathbf{r} = \int_{A(2,0)}^{B(-2,0)} d\varphi = \varphi(2, 0) - \varphi(-2, 0) = 0.$$

(ii)  $\phi_x = x (x^2 + y^2 + z^2)$  κ.λπ., οπότε τελικά

$$\phi = \frac{1}{4} (x^4 + y^4 + z^4 + 2x^2y^2 + 2y^2z^2 + 2z^2x^2).$$

Για το ολοκλήρωμα είναι όμοια  $z = 0$ , οπότε  $\phi = \frac{1}{4} (x^4 + y^4 + 2x^2y^2) = \frac{1}{4} (x^2 + y^2)^2$  με  $I = 0$ .

### 20.1.5 Ορισμός σε βαθμωτό πεδίο

Έστω  $C$  μία καμπύλη με παραμετρική εξίσωση

$$\mathbf{r}(t) = x(t)\mathbf{i} + y(t)\mathbf{j} + z(t)\mathbf{k}, \quad \text{όταν } t \in [\alpha, \beta],$$

όπου οι συναρτήσεις  $x(t)$ ,  $y(t)$  και  $z(t)$  είναι παραγωγίσιμες για κάθε  $t \in (\alpha, \beta)$ .

Είναι ήδη γνωστό από το Μάθημα Διανυσματικές Συναρτήσεις - Γεωμετρική σημασία παραγώγου ότι:

- η παράγωγος  $\mathbf{r}'(t)$  ορίζει τη διεύθυνση της εφαπτομένης της  $C$ , και
- το μοναδιαίο εφαπτόμενο διάνυσμα  $\mathbf{T}(t)$  ορίζεται από τη σχέση

$$\mathbf{T}(t) = \frac{\mathbf{r}'(t)}{|\mathbf{r}'(t)|}, \quad \text{όταν } \mathbf{r}'(t) \neq \mathbf{0}. \quad (20.1.5 - 1)$$

Επομένως, αν η παράμετρος  $t$  παριστάνει τον χρόνο, είναι προφανές ότι η διανυσματική συνάρτηση  $\mathbf{r}'(t)$  θα παριστάνει το **διάνυσμα της ταχύτητας**, έστω  $\mathbf{v}(t)$ , οπότε

$$\mathbf{v}(t) = \mathbf{r}'(t)$$

σε κάθε σημείο της  $C$  και θα έχει **μέτρο**

$$v(t) = |\mathbf{r}'(t)| = |\mathbf{v}(t)|.$$

Έστω  $s = s(t)$  το μήκος του τόξου επί της  $C$  που διαγράφεται σε χρόνο  $t$ . Τότε σύμφωνα και με τους παραπάνω τύπους είναι:

$$\frac{ds(t)}{dt} = v(t) = |\mathbf{r}'(t)|, \quad \text{οπότε } ds(t) = v(t) dt = |\mathbf{r}'(t)| dt. \quad (20.1.5 - 2)$$

Η (20.1.5 – 1) σύμφωνα με την (20.1.5 – 2) διαδοχικά γράφεται

$$\begin{aligned} \mathbf{T} &= \frac{\mathbf{r}'(t)}{|\mathbf{r}'(t)|} = \frac{1}{|\mathbf{r}'(t)|} \frac{d\mathbf{r}(t)}{dt} \\ &= \frac{1}{v(t)} \frac{d\mathbf{r}(t)}{dt} = \frac{1}{\frac{ds(t)}{dt}} \frac{d\mathbf{r}(t)}{dt} = \frac{d\mathbf{r}(t)}{ds(t)}, \end{aligned}$$

δηλαδή

$$\mathbf{T} = \frac{d \mathbf{r}(t)}{ds(t)}. \quad (20.1.5 - 3)$$

Αρχαία  
Αρχαία

Επομένως σύμφωνα με την (20.1.5 - 3) το επικαμπύλιο ολοκλήρωμα  $\int_C \mathbf{F} \cdot d\mathbf{r}$  τελικά γράφεται

$$\int_C \mathbf{F} \cdot d\mathbf{r} = \int_C \mathbf{F} \cdot \mathbf{T} ds = \int_C f ds, \quad (20.1.5 - 4)$$

όπου  $f = \mathbf{F} \cdot \mathbf{T}$  λόγω του εσωτερικού γινομένου είναι **βαθμωτή συνάρτηση**.

Η (20.1.5 - 4) δίνει μία άλλη έκφραση του επικαμπύλιου ολοκληρώματος, που αναλυτικά ορίζεται ως εξής:

**Ορισμός 20.1.5 - 1** (επικαμπύλιου ολοκληρώματος). *Αν η  $f$  περιγράφει ένα βαθμωτό πεδίο, που είναι ορισμένο επί μιας καμπύλης  $C$  με πεπερασμένο μήκος, τότε το επικαμπύλιο ολοκλήρωμα της  $f$  ως προς ένα τόξο  $s$  της  $C$ , συμβολίζεται με  $\int_C f ds$  και ισούται με*

$$\int_C f ds = \int_{\alpha}^{\beta} f [\mathbf{r}(t)] ds(t) = \int_{\alpha}^{\beta} f [\mathbf{r}(t)] s'(t) dt, \quad (20.1.5 - 5)$$

όταν το τελευταίο ολοκλήρωμα υπάρχει.

### Σημείωση 20.1.5 - 1

Στη βιβλιογραφία τα επικαμπύλια ολοκληρώματα που ορίζονται από ένα βαθμωτό πεδίο επί μιας καμπύλης, είναι επίσης γνωστά και ως επικαμπύλια ολοκληρώματα του 1ου είδους.

### 20.1.6 Εφαρμογές

Οι σημαντικότερες εφαρμογές ανάλογα με τη φυσική σημασία της βαθμωτής συνάρτησης  $f$  δίνονται στη συνέχεια.

•  $f = 1$

Τότε το ολοκλήρωμα  $\int_C ds$  παριστάνει το μήκος της καμπύλης  $C$ .

Επειδή σύμφωνα με τον τύπο (20.1.5 - 5) είναι

$$\frac{ds}{dt} = v(t) = |\mathbf{r}'(t)| = \sqrt{[x'(t)]^2 + [y'(t)]^2 + [z'(t)]^2}$$

το **μήκος**  $L$  της  $C$  θα δίνεται από τον τύπο

$$\begin{aligned} L &= \int_C ds = \int_{\alpha}^{\beta} s'(t) dt \\ &= \int_{\alpha}^{\beta} \sqrt{[x'(t)]^2 + [y'(t)]^2 + [z'(t)]^2} dt. \quad (20.1.6 - 1) \end{aligned}$$

• Αν η  $f$  παριστάνει την **πυκνότητα**  $\rho$  σε κάθε σημείο της  $C$ , τότε η **ολική μάζα**  $M$  δίνεται από το επικαμπύλιο ολοκλήρωμα

$$M = \int_C \rho ds = \int_{\alpha}^{\beta} \rho(t) s'(t) dt. \quad (20.1.6 - 2)$$

Στην περίπτωση αυτή οι συντεταγμένες  $(\bar{x}, \bar{y}, \bar{z})$  του **κέντρου μάζας** είναι

$$\begin{aligned} \bar{x} &= \frac{1}{M} \int_C x \rho ds = \frac{1}{M} \int_{\alpha}^{\beta} x(t) \rho(t) s'(t) dt, \\ \bar{y} &= \frac{1}{M} \int_C y \rho ds = \frac{1}{M} \int_{\alpha}^{\beta} y(t) \rho(t) s'(t) dt, \quad και \\ \bar{z} &= \frac{1}{M} \int_C z \rho ds = \frac{1}{M} \int_{\alpha}^{\beta} z(t) \rho(t) s'(t) dt, \quad (20.1.6 - 3) \end{aligned}$$

ενώ η **ροπή αδράνειας**  $I_l$  ως προς άξονα  $l$  ισούται με

$$I_l = \int_C \delta^2 \rho ds = \int_{\alpha}^{\beta} \delta^2(t) \rho(t) s'(t) dt, \quad (20.1.6 - 4)$$

όπου με  $\delta = \delta(x, y, z)$  συμβολίζεται η απόσταση του τυχόντος σημείου της  $C$  από τον  $l$ .

### Παράδειγμα 20.1.6 - 1

Έστω  $C$  η σπείρα ενός ελατηρίου με σχήμα ένα τόξο της κυκλικής έλικας με παραμετρική εξίσωση ( $\Sigma\chi.$  20.1.6 - 1a)

$$\mathbf{r}(t) = \alpha \cos t \mathbf{i} + \alpha \sin t \mathbf{j} + \beta t \mathbf{k}, \quad \text{όταν } \alpha > 0 \text{ και } t \in [0, 2\pi].$$

Αν η πυκνότητα του ελατηρίου είναι

$$\rho(x, y, z) = x^2 + y^2 + z^2,$$

ζητείται να υπολογιστεί το μήκος, η μάζα και οι συντεταγμένες  $(\bar{x}, \bar{y}, \bar{z})$  του κέντρου μάζας του ελατηρίου.

**Λύση.** Έχουμε

$$x(t) = \alpha \cos t, \quad y(t) = \alpha \sin t \quad \text{και} \quad z(t) = \beta t,$$

οπότε

$$x'(t) = -\alpha \sin t, \quad y'(t) = \alpha \cos t \quad \text{και} \quad z'(t) = \beta.$$

Τότε

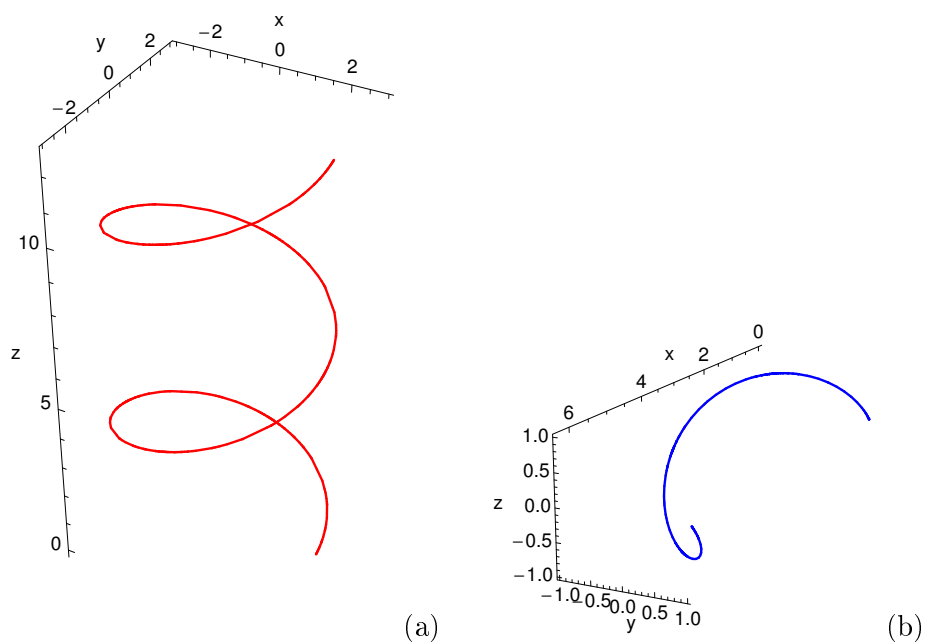
$$s'(t) = \sqrt{[x'(t)]^2 + [y'(t)]^2 + [z'(t)]^2} = \sqrt{\alpha^2 + \beta^2},$$

Σύμφωνα με τον τύπο (20.1.6 - 1) το μήκος  $L$  του ελατηρίου είναι

$$\begin{aligned} L &= \int_C ds = \int_{\alpha}^{\beta} s'(t) dt = \int_{\alpha}^{\beta} \sqrt{[x'(t)]^2 + [y'(t)]^2 + [z'(t)]^2} dt \\ &= \int_0^{2\pi} \sqrt{\alpha^2 + \beta^2} dt = \sqrt{\alpha^2 + \beta^2} \int_0^{2\pi} dt = 2\pi \sqrt{\alpha^2 + \beta^2}. \end{aligned}$$

Επειδή  $\rho(x, y, z) = x^2 + y^2 + z^2$  είναι

$$\begin{aligned} \rho[\mathbf{r}(t)] &= \rho(x(t), y(t), z(t)) = x^2(t) + y^2(t) + z^2(t) \\ &= \alpha^2 \cos^2 t + \alpha^2 \sin^2 t + \beta^2 t^2 \\ &= \alpha^2 (\cos^2 t + \sin^2 t) + \beta^2 t^2 = \alpha^2 + \beta^2 t^2. \end{aligned}$$



**Συχνά** 20.1.6 - 1: Η καμπύλη  $C$  σε: (a) Παράδειγμα 20.1.6 - 1, όταν  $\alpha = 3$ ,  $\beta = 1$  και  $t \in [0, 4\pi]$ , (b) Άσκηση 1 (i), όταν  $\alpha = 3$ ,  $\beta = 1$  και  $t \in [0, 2\pi]$ .

Επομένως η ολική μάζα  $M$  σύμφωνα με την (20.1.6 – 2) είναι

$$\begin{aligned} M &= \int_C \rho ds = \int_0^{2\pi} \rho [\mathbf{r}(t)] s'(t) dt = \int_0^{2\pi} \rho(t) s'(t) dt \\ &= \int_0^{2\pi} (\alpha^2 + \beta^2 t^2) \sqrt{\alpha^2 + \beta^2} dt \\ &= \sqrt{\alpha^2 + \beta^2} \int_0^{2\pi} (\alpha^2 + \beta^2 t^2) dt \\ &= \frac{2\pi}{3} \sqrt{\alpha^2 + \beta^2} (3\alpha^2 + 4\pi^2 \beta^2). \end{aligned}$$

Επίσης από τους τύπους (20.1.6 – 3) διαδοχικά έχουμε

$$\begin{aligned} \int_C x \rho ds &= a \sqrt{a^2 + b^2} \int_0^{2\pi} (a^2 + b^2 t^2) \cos t dt \\ &= a \sqrt{a^2 + b^2} \left\{ 2b^2 t \cos t + [a^2 + b^2 (t^2 - 2)] \sin t \right\} \Big|_0^{2\pi} \\ &= 4ab^2 \pi \sqrt{a^2 + b^2}, \end{aligned}$$

$$\begin{aligned} \int_C y \rho ds &= a \sqrt{a^2 + b^2} \int_0^{2\pi} (a^2 + b^2 t^2) \sin t dt \\ &= a \sqrt{a^2 + b^2} \left\{ 2b^2 t \sin t - [a^2 + b^2 (t^2 - 2)] \cos t \right\} \Big|_0^{2\pi} \\ &= -4ab^2 \pi^2 \sqrt{a^2 + b^2}, \quad \text{κατ}. \end{aligned}$$

$$\begin{aligned} \int_C z \rho ds &= a \sqrt{a^2 + b^2} \int_0^{2\pi} t (a^2 + b^2 t^2) dt \\ &= b \sqrt{a^2 + b^2} \left( \frac{a^2 t^2}{2} + \frac{b^2 t^4}{4} \right) \Big|_0^{2\pi} \\ &= 2b (a^2 + 2b^2 \pi^2) \pi^2 \sqrt{a^2 + b^2}, \end{aligned}$$

οπότε το κέντρο μάζας θα είναι

$$(\bar{x}, \bar{y}, \bar{z}) = \left( \frac{6ab^2}{3a^2 + 4b^2\pi^2}, -\frac{6ab^2\pi}{3a^2 + 4b^2\pi^2}, \frac{3b\pi(a^2 + 2b^2\pi^2)}{3a^2 + 4b^2\pi^2} \right).$$

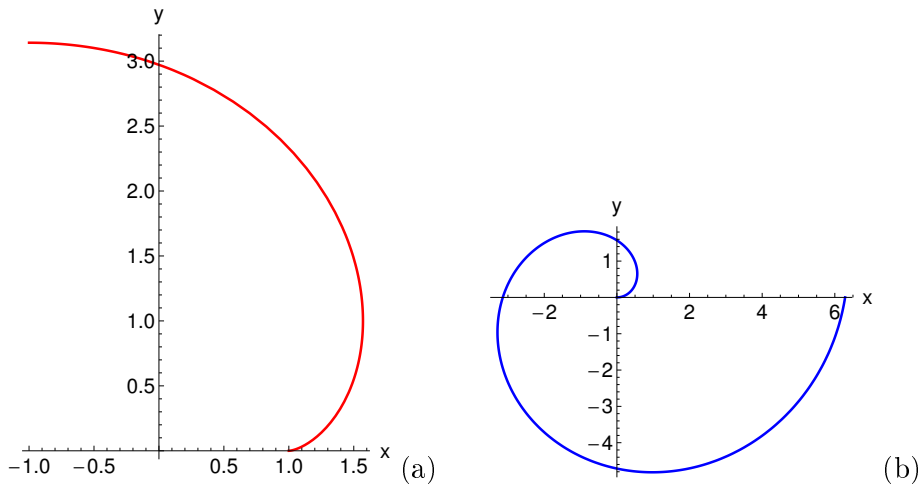
Ο υπολογισμός με το MATHEMATICA έγινε με το παρακάτω πρόγραμμα:

### Πρόγραμμα 20.1.6 - 2 (επικαμπύλιου ολοκληρώματος 1ου είδους)

```
x[t_] := a Cos[t]
y[t_] := a Sin[t]
z[t_] := b t
f[t_] := (x[t])^2 + (y[t])^2 + (z[t])^2
Print["x'(t) = ", D[x[t], t], " , ", "y'(t) = ",
D[y[t], t], " , ", "z'(t) = ", D[z[t], t]]
Print["s'(t) = ",
Simplify[Sqrt[(D[x[t], t])^2 + (D[y[t], t])^2 + (D[z[t], t])^2]]]
Print["Length L = ", Integrate[Sqrt[(D[x[t], t])^2 + (D[y[t], t])^2 +
+ (D[z[t], t])^2], {t, 0, 2 Pi}]]
Print["f(t) = ", Simplify[f[t]]]
M = Simplify[Integrate[f[t] Sqrt[(D[x[t], t])^2 + (D[y[t], t])^2 +
+ (D[z[t], t])^2], {t, 0, 2 Pi}]];
Print["Mass M = ", M]
x1 = Simplify[Integrate[x[t] f[t] Sqrt[(D[x[t], t])^2 + (D[y[t], t])^2 +
+ (D[z[t], t])^2], {t, 0, 2 Pi}]];
y1 = Simplify[Integrate[y[t] f[t] Sqrt[(D[x[t], t])^2 + (D[y[t], t])^2 +
+ (D[z[t], t])^2], {t, 0, 2 Pi}]];
z1 = Simplify[Integrate[z[t] f[t] Sqrt[(D[x[t], t])^2 +
+ (D[y[t], t])^2 + (D[z[t], t])^2], {t, 0, 2 Pi}]];
Print["Center of mass x = ", Simplify[x1/M], " , y = ",
Simplify[y1/M], " , z = ", Simplify[z1/M]]
ParametricPlot3D[{x[t], y[t], z[t]}, {t, 0, 4 Pi},
PlotStyle -> {Red, Thick}, Boxed -> False,
AxesLabel -> {"x", "y", "z"}, BaseStyle -> {FontFamily -> "Arial", FontSize -> 16}]
```

## Ασκήσεις

1. Να υπολογιστεί το μήκος  $L$ , η ολική μάζα  $M$  και οι συντεταγμένες του κέντρου μάζας του σύρματος στις παρακάτω περιπτώσεις:



**Σχήμα 20.1.6 - 2:** Η καμπύλη  $C$  στην: (a) Άσκηση 1 (ii), όταν  $t \in [0, \pi]$  και (b) Άσκηση 1 (iii), όταν  $t \in [0, 2\pi]$ .

- i)  $\mathbf{r}(t) = t \mathbf{i} + \cos t \mathbf{j} + \sin t \mathbf{k}$  και  $t \in [0, 2\pi]$ , όταν η πυκνότητα του σύρματος είναι  $\rho(x, y, z) = x^2$  ( $\Sigma\chi.$  20.1.6 - 1b).
- ii)  $\mathbf{r}(t) = (\cos t + t \sin t) \mathbf{i} + (\sin t - t \cos t) \mathbf{j}$  με  $t \in [0, \pi]$  και η πυκνότητα του σύρματος είναι  $\rho(x, y) = x^2 + y^2$  ( $\Sigma\chi.$  20.1.6 - 2a).
- iii)  $\mathbf{r}(t) = t \cos t \mathbf{i} + t \sin t \mathbf{j}$  με  $t \in [0, 2\pi]$  και  $\rho(x, y) = x^2$  ( $\Sigma\chi.$  20.1.6 - 2b).

2. Να υπολογιστεί η ροπή αδράνειας ως προς τον άξονα των  $z$  της σπείρας του Παραδείγματος 20.1.6 - 1.
3. Να δειχθεί ότι η ροπή αδράνειας ενός ομογενούς κυκλικού σύρματος με ακτίνα  $R$  ως προς έναν άξονα που περνά από το κέντρο του είναι  $MR^2/2$ , όταν  $M$  η μάζα του σύρματος. Κατόπιν να υπολογιστεί η ροπή αδράνειας ως προς άξονα, που απέχει από το κέντρο του απόσταση ίση με  $d$ .

### Απαντήσεις

1. (i)  $s'(t) = \sqrt{2}$ ,  $L = 2\sqrt{2}\pi$ ,  $\rho(t) = t^2$ ,  $M = \frac{8\sqrt{2}\pi^3}{3}$ ,  $(\bar{x}, \bar{y}, \bar{z}) = \left(\frac{3\pi}{2}, \frac{3}{2\pi^2}, -\frac{3}{2\pi}\right)$ .  
(ii)  $s'(t) = t$ ,  $L = \frac{\pi^2}{2}$ ,  $\rho(t) = 1 + t^2$ ,  $M = \frac{1}{4}\pi^2(1 + 2\pi^2)$ ,

$$(\bar{x}, \bar{y}) = \left( \frac{4(54 - 14\pi^2 + \pi^4)}{\pi^2(\pi^2 + 2)}, \frac{4(5\pi^2 - 27)}{\pi(\pi^2 + 2)} \right).$$

(iii)  $s'(t) = \sqrt{1+t^2}$ ,  $L = \pi\sqrt{1+4\pi^2} + \frac{1}{2}\sinh^{-1}2\pi$ ,  $\rho(t) = t^2 \cos^2 t$ . Οι υπόλοιποι υπολογισμοί των ολοκληρωμάτων γίνονται μόνον προσεγγιστικά, όπως με ανάπτυγμα κατά Maclaurin ή με προσεγγιστικές μεθόδους (βλέπε βιβλιογραφία).  $M = 214.42$  x.λπ.

Ανάλογα οι Ασκήσεις 2 και 3.

### 20.1.7 Σχέση επικαμπύλιου και διπλού ολοκληρώματος

Στην παράγραφο αυτή θα εξεταστεί η σχέση που υπάρχει μεταξύ του επικαμπύλιου και του διπλού ολοκληρώματος.

Σχετικά ισχύει το παρακάτω θεώρημα:<sup>7</sup>

**Θεώρημα 20.1.7 - 1 (Green στο επίπεδο).** Έστω  $D$  ένας κλειστός τόπος του επιπέδου που περικλείεται από μία κλειστή και απλή καμπύλη  $C$  του  $x$ -επιπέδου (Σχ. 20.1.7 - 1). Τότε, αν  $P$  και  $Q$  είναι συνεχείς συναρτήσεις στο  $D$ , ισχύει

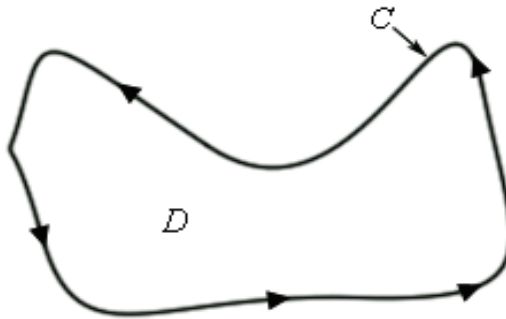
$$\oint_C P dx + Q dy = \iint_D \left( \frac{\partial Q}{\partial x} - \frac{\partial P}{\partial y} \right) dx dy, \quad (20.1.7 - 1)$$

όταν η καμπύλη  $C$  διαγράφεται κατά τη θετική φορά.

#### Σημειώσεις 20.1.7 - 1

- i) Υπενθυμίζεται ότι ως θετική φορά διαγραφής ή διαφορετικά δεξιόστροφη φορά θεωρείται αυτή που είναι αντίθετη της κίνησης των δεικτών του ρολογιού.
- ii) Μία καμπύλη  $C$  είναι κλειστή, όταν η αρχή και το τέλος της συμπίπτουν.
- iii) Με τον όρο απλή καμπύλη εννοείται ότι η διαγραφή της γίνεται με συνεχή τρόπο και ότι η  $C$  καλύπτει πλήρως τον τόπο  $D$ . Το θεώρημα γενικεύεται και αποδεικνύεται στη βιβλιογραφία ότι ισχύει και για άλλες μορφές της καμπύλης  $C$  και του τόπου  $D$ .

<sup>7</sup>Ο αναγνώστης, για μια εκτενέστερη μελέτη, και απόδειξη του θεωρήματος παραπέμπεται στη βιβλιογραφία και στο βιβλίο A. Μπράτσος [1] Κεφ. 4.



**Σχήμα 20.1.7 - 1:** Θεώρημα του Green.

Έστω τώρα ότι στο διανυσματικό πεδίο  $\mathbf{F} = P \mathbf{i} + Q \mathbf{j}$ , οι συνιστώσες του  $P$  και  $Q$  επαληθεύουν τις υποθέσεις του Θεωρήματος 20.1.7 - 1. Τότε έχοντας υπόψη τον τύπο (20.1.2 - 10), οπότε ο τύπος (20.1.7 - 1) γράφεται

$$\oint_C \mathbf{F} \cdot d\mathbf{r} = \oint_C P dx + Q dy = \iint_D (Q_x - P_y) dx dy. \quad (20.1.7 - 2)$$

Ο τύπος (20.1.7 - 2) θα χρησιμοποιηθεί στη συνέχεια για τους υπολογισμούς.

### Παράδειγμα 20.1.7 - 1

Με το Θεώρημα του Green να υπολογιστεί το ολοκλήρωμα  $\oint_C F \cdot dr$ , όταν

$$\mathbf{F} = (5 - xy - y^2) \mathbf{i} + (x^2 - 2xy) \mathbf{j}$$

και  $C$  το τετράγωνο με κορυφές  $(0,0)$ ,  $(1,0)$ ,  $(1,1)$  και  $(0,1)$ , που διαγράφεται δεξιόστροφα.

**Λύση.** Από την έκφραση του διανυσματικού πεδίου έχουμε ότι, αν

$$F = P \mathbf{i} + Q \mathbf{j} = (5 - xy - y^2) i + (x^2 - 2xy) j,$$

τότε

$$P = 5 - xy - y^2 \quad \text{και} \quad Q = x^2 - 2xy. \quad (1)$$

Η καμπύλη  $C$  προφανώς πληροί τις υποθέσεις του Θεωρήματος 20.1.7 - 1, ενώ το τετράγωνο  $D$  που ορίζεται, περιγράφεται ως εξής:

$$D = \{(x, y) \in \mathbb{R}^2 : 0 \leq x \leq 1, 0 \leq y \leq 1\}.$$

Επομένως στο διπλό ολοκλήρωμα έχουμε την ολοκληρωτέα συνάρτηση  $Q_x - P_y$  να ορίζεται σε ορθογώνιο παραλληλόγραμμο<sup>8</sup> από τους τύπους (20.1.7-2) και (1) προκύπτει ότι

$$\begin{aligned} \oint_C F \cdot dr &= \iint_D (Q_x - P_y) dx dy \\ &= \iint_D [(2x - 2y) - (-x - 2y)] dx dy \\ &= 3 \int_0^1 \left[ \int_0^1 x dx \right] dy = 3 \int_0^1 \frac{x^2}{2} \Big|_{x=0}^{x=1} dy \\ &= \frac{3}{2} \int_0^1 dy = \frac{3}{2}. \end{aligned}$$

■

### Παράδειγμα 20.1.7 - 2

Όμοια με το Θεώρημα του Green να υπολογιστεί το ολοκλήρωμα

$$\oint_C xy dx + x^2 y^3 dy,$$

όταν  $C$  το τρίγωνο με κορυφές  $(0, 0), (1, 0)$  και  $(1, 2)$ , που διαγράφεται δεξιόστροφα ( $\Sigma\chi$ . 20.1.7 - 2).

**Λύση.** Προφανώς είναι

$$P = xy \quad \text{και} \quad Q = x^2 y^3. \quad (2)$$

---

<sup>8</sup>Βλέπε Μάθημα Πολλαπλά ολοκληρώματα Κεφ. Διπλά ολοκληρώματα - Μέθοδοι υπολογισμού Περίπτωση I.

Όμοια η καμπύλη  $C$  πληροί τις υποθέσεις του Θεωρήματος 20.1.7 - 1, ενώ το τρίγωνο  $D$  που ορίζει, σύμφωνα και με το ( $\Sigma\chi.$  20.1.7 - 2) περιγράφεται ως εξής:

$$D = \{ (x, y) \in \mathbb{R}^2 : 0 \leq x \leq 1, 0 \leq y \leq 2x \}.$$

Επομένως από τους τύπους (20.1.7 - 1) και (2) προκύπτει ότι<sup>9</sup>

$$\begin{aligned} \oint_C xy \, dx + x^2 y^3 \, dy &= \iint_D (Q_x - P_y) \, dx \, dy \\ &= \iint_D (2xy^3 - x) \, dx \, dy \\ &= \int_0^1 \left[ \int_0^{2x} (2xy^3 - x) \, dy \right] \, dx \\ &= \int_0^1 \left[ \frac{1}{2} xy^4 - xy \right]_{y=0}^{y=2x} \, dx \\ &= \int_0^1 (8x^5 - 2x^2) \, dx = \left[ \frac{4}{3} x^6 - \frac{2}{3} x^3 \right]_0^1 = \frac{2}{3}. \end{aligned}$$

■

## 20.2 Επιφανειακά ολοκληρώματα

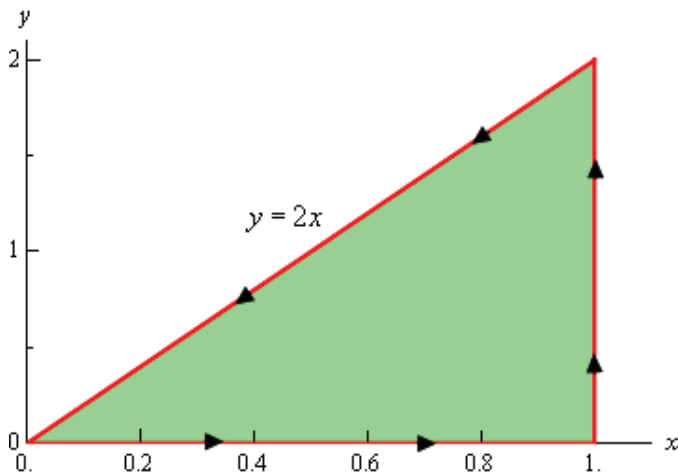
### 20.2.1 Παραμετρικός ορισμός επιφάνειας

<sup>10</sup> Είναι ήδη γνωστό στον αναγνώστη ότι η έννοια της καμπύλης ορίστηκε με τη βοήθεια της κίνησης ενός υλικού σημείου που έχει έναν βαθμό ελευθερίας. Με τη βοήθεια τώρα μιας ανάλογης κίνησης δίνεται ο παρακάτω ορισμός της επιφάνειας:

<sup>9</sup> Όμοια βλέπε Μάθημα Πολλαπλά ολοκληρώματα Κεφ. Διπλά ολοκληρώματα - Μέθοδοι υπολογισμού Περίπτωση II.

<sup>10</sup> Ο αναγνώστης, για μια εκτενέστερη μελέτη, παραπέμπεται στη βιβλιογραφία [1, 3, 4, 5, 6] και στη μαθηματική βάση δεδομένων

[http://en.wikipedia.org/wiki/Surface\\_integral](http://en.wikipedia.org/wiki/Surface_integral)



**Σχήμα 20.1.7 - 2:** Παράδειγμα 20.1.7 - 2.

**Ορισμός 20.2.1 - 1 (επιφάνειας).** Ορίζεται ως επιφάνεια ο γεωμετρικός τόπος των θέσεων ενός υλικού σημείου, που κινείται στον χώρο και έχει δύο βαθμούς ελευθερίας.

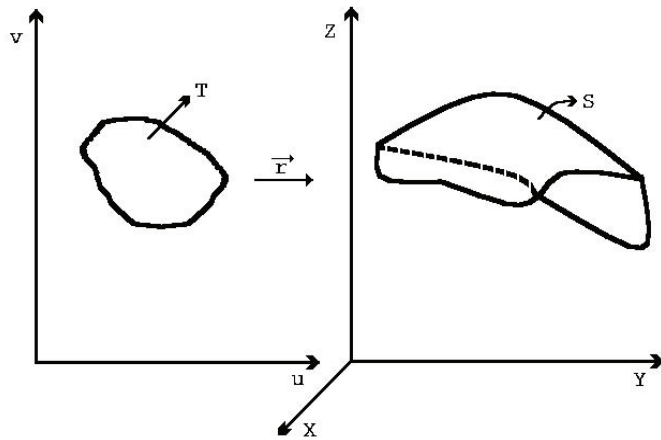
Αν λοιπόν για την παραμετρική παράσταση μιας καμπύλης απαιτείται η χρήση μιας παραμέτρου, τώρα για την παραμετρική παράσταση μιας επιφάνειας (Σχ. 20.2.1 - 1) απαιτούνται δύο παράμετροι, που συνήθως συμβολίζονται με  $u$  και  $v$ . Επομένως, αν  $M(x, y, z)$  είναι ένα τυχόν σημείο μιας επιφάνειας  $S$ , οι καρτεσιανές συντεταγμένες  $x$ ,  $y$  και  $z$  θα εκφράζονται συναρτήσει των παραμέτρων  $u$  και  $v$  ως εξής:

$$x = X(u, v), \quad y = Y(u, v) \quad \text{και} \quad z = Z(u, v), \quad (20.2.1 - 1)$$

οπότε για το διάνυσμα θέσης  $\mathbf{r}$  του σημείου  $M$  πρέπει

$$\mathbf{r} = \mathbf{r}(u, v) = X(u, v)\mathbf{i} + Y(u, v)\mathbf{j} + Z(u, v)\mathbf{k}, \quad (20.2.1 - 2)$$

όταν  $(u, v) \in T$  με  $T$  έναν τόπο του χώρου των δύο διαστάσεων στον οποίο μεταβάλλονται οι παράμετροι  $u$  και  $v$ , αντίστοιχα. Η (20.2.1 - 2) ορίζει τότε την **παραμετρική εξίσωση** των σημείων της επιφάνειας  $S$ .



**Σχήμα 20.2.1 - 1:** παραμετρική παράσταση επιφάνειας.

### Παράδειγμα 20.2.1 - 1

Ζητείται η παραμετρική εξίσωση των σημείων της επιφάνειας της σφαίρας με εξίσωση  $x^2 + y^2 + z^2 = R^2$ .

**Λύση.** Είναι γνωστό ότι οι **σφαιρικές συντεταγμένες**  $(r, \theta, \varphi)$  ορίζονται από τις σχέσεις (Σχ. 20.2.1 - 2)

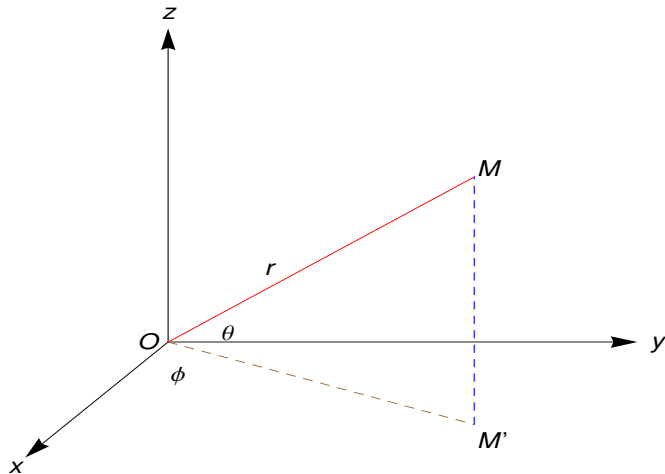
$$\begin{aligned} x &= r \cos \theta \cos \phi, & y &= r \cos \theta \sin \phi, & z &= r \sin \theta \\ \text{με } r &\geq 0 \quad \text{και} \quad \phi \in [0, 2\pi), & \theta &\in \left[-\frac{\pi}{2}, \frac{\pi}{2}\right]. \end{aligned} \tag{20.2.1 - 3}$$

Επομένως αντιστοιχώντας τους τύπους (20.2.1-3) με τους τύπους (20.2.1-1), δηλαδή

$$\phi \rightarrow u \quad \text{και} \quad \theta \rightarrow v$$

προκύπτει ότι

$$\begin{aligned} x &= R \cos u \cos v = X(u, v), \\ y &= R \sin u \cos v = Y(u, v), \quad \text{όταν} \quad (u, v) \in [0, 2\pi] \times \left[-\frac{\pi}{2}, \frac{\pi}{2}\right]. \\ z &= R \sin v = Z(u, v), \end{aligned}$$



**Σχήμα 20.2.1 - 2:** οι σφαιρικές συντεταγμένες  $(r, \theta, \varphi)$ .

Ο τόπος που μεταβάλλονται οι παράμετροι  $u$  και  $v$  είναι στην περίπτωση αυτή το ορθογώνιο παραλληλόγραμμο  $ABΓΔ$  (Σχ. 20.2.1 - 3).

Τότε η **παραμετρική εξίσωση της επιφάνειας της σφαίρας** θα είναι

$$\mathbf{r} = \mathbf{r}(u, v) = R \cos u \cos v \mathbf{i} + R \sin u \cos v \mathbf{j} + R \sin v \mathbf{k}. \quad (20.2.1 - 4)$$

■

### Σημείωση 20.2.1 - 1

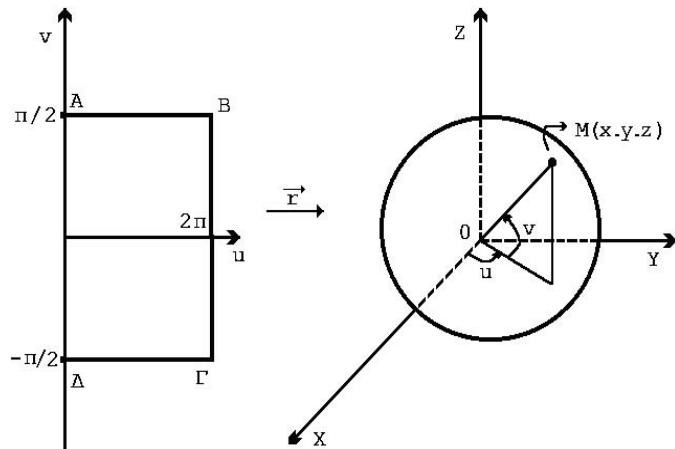
Στην περίπτωση που ζητείται η παραμετρική εξίσωση των σημείων του **άνω ημισφαίρου**, χρησιμοποιείται όμοια ο τύπος (20.2.1 - 4) με

$$(u, v) \in [0, 2\pi] \times \left[0, \frac{\pi}{2}\right].$$

### 20.2.2 Θεμελιώδες διανυσματικό γινόμενο

Έστω μία επιφάνεια  $S$  με παραμετρική εξίσωση της μορφής (20.2.1 - 2), δηλαδή

$$\mathbf{r} = \mathbf{r}(u, v) = X(u, v) \mathbf{i} + Y(u, v) \mathbf{j} + Z(u, v) \mathbf{k}.$$



**Σχήμα 20.2.1 - 3:** παραμετρική παράσταση σφαίρας.

Υποθέτοντας ότι οι συναρτήσεις  $X$ ,  $Y$  και  $Z$  έχουν τουλάχιστον 1ης τάξης μερικές παραγώγους ως προς  $u$  και  $v$ , από την παραπάνω σχέση προκύπτει:

$$\frac{\partial \mathbf{r}}{\partial u} = \frac{\partial X}{\partial u} \mathbf{i} + \frac{\partial Y}{\partial u} \mathbf{j} + \frac{\partial Z}{\partial u} \mathbf{k},$$

ή

$$\mathbf{r}_u = X_u \mathbf{i} + Y_u \mathbf{j} + Z_u \mathbf{k}.$$

Τότε σύμφωνα με τη γεωμετρική σημασία της παραγώγου το διάνυσμα  $\mathbf{r}_u$  είναι **κάθετο** στο  $\mathbf{r}$  στο σημείο  $M$  και ορίζει το διάνυσμα της **ταχύτητας** κατά την  $u$ -καμπύλη.

Όμοια υπολογίζεται το

$$\mathbf{r}_v = X_v \mathbf{i} + Y_v \mathbf{j} + Z_v \mathbf{k},$$

που είναι επίσης **κάθετο** στο  $\mathbf{r}$  στο σημείο  $M$  και ορίζει το διάνυσμα ταχύτητας κατά την  $v$ -καμπύλη.

Έστω τώρα το **εξωτερικό γινόμενο**

$$\mathbf{w} = \frac{\partial \mathbf{r}}{\partial u} \times \frac{\partial \mathbf{r}}{\partial v} = \mathbf{r}_u \times \mathbf{r}_v \quad (20.2.2 - 1)$$

που κατά τα γνωστά,<sup>11</sup> όταν

$$\mathbf{w} \neq \mathbf{0},$$

δηλαδή τα διανύσματα

$$\mathbf{r}_u \quad \text{και} \quad \mathbf{r}_v$$

**δεν είναι συγγραμμικά**, οπότε είναι γραμμικά ανεξάρτητα. Τότε το εξωτερικό γινόμενο

- ορίζει ένα διάνυσμα  $\mathbf{w}$  κάθετο στα διανύσματα  $\mathbf{r}_u$  και  $\mathbf{r}_v$ , τέτοιο ώστε μαζί με αυτά να αποτελεί δεξιόστροφο σύστημα, και
- το μέτρο του  $|\mathbf{w}|$  ισούται με το **εμβαδόν** του παραλληλογράμμου που ορίζεται με πλευρές τα μέτρα των διανυσμάτων  $\mathbf{r}_u$  και  $\mathbf{r}_v$ .

Στην (20.2.2 – 1) το  $\mathbf{w}$  λέγεται **θεμελιώδες διάνυσμα** (fundamental vector), ενώ το εξωτερικό γινόμενο του 2ου μέλους **θεμελιώδες διανυσματικό γινόμενο** (fundamental vector product).

Αποδεικνύεται ότι:

**Πρόταση 20.2.2 - 1.** Αν  $\mathbf{r} = \mathbf{r}(u, v)$  είναι το διάνυσμα θέσης τυχόντος σημείου  $M$  της επιφάνειας  $S$ , τότε το θεμελιώδες διάνυσμα είναι **κάθετο** σε κάθε συνεχή καμπύλη, που διέρχεται από το  $M$ .

Σύμφωνα με τα παραπάνω έχουμε τον παρακάτω ορισμό:

**Ορισμός 20.2.2 - 1 (εφαπτόμενο επίπεδο).** Έστω ότι  $\mathbf{r} = \mathbf{r}(u, v)$  είναι το διάνυσμα θέσης τυχόντος σημείου  $M$  της επιφάνειας  $S$ . Τότε ορίζεται ως εφαπτόμενο επίπεδο (tangent plane) της επιφάνειας  $S$  στο σημείο της  $M(u, v)$  και συμβολίζεται με  $T(M)$ , το επίπεδο που ορίζεται από τις διευθύνσεις των  $\mathbf{r}_u$  και  $\mathbf{r}_v$  στο  $M$ .

Τότε το διάνυσμα που ορίζει το εξωτερικό γινόμενο

$$\mathbf{w} = \mathbf{r}_u \times \mathbf{r}_v$$

---

<sup>11</sup>Βλέπε Μάθημα Ανώτερα Μαθηματικά - Διανύσματα.

Θα είναι **χάθετο** στο επίπεδο  $T(M)$  και θα έχει αντίστοιχο **μοναδιαίο διάνυσμα** (unit normal vector) το

$$\mathbf{n} = \frac{\mathbf{w}}{|\mathbf{w}|} = \frac{\mathbf{r}_u \times \mathbf{r}_v}{|\mathbf{r}_u \times \mathbf{r}_v|}. \quad (20.2.2 - 2)$$

Έστω τώρα ότι η παράμετρος  $u$  είναι σταθερή και η παράμετρος  $v$  παριστάνει τον χρόνο. Τότε

- το

$$|\mathbf{r}_v|$$

παριστάνει την **επιτρόχια ταχύτητα**, ενώ

- το γινόμενο

$$|\mathbf{r}_v| \Delta v$$

το **διανυθέν διάστημα** κατά τη  **$v$ -καμπύλη**.

- Όμοια το

$$|\mathbf{r}_u| \Delta u$$

θα παριστάνει το διανυθέν διάστημα κατά την  **$u$ -καμπύλη**.

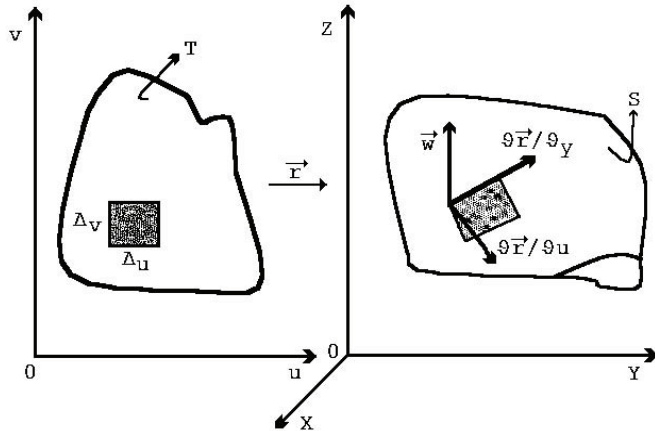
Σύμφωνα και με το Σχ. 20.2.2 - 1 πρέπει στην περίπτωση αυτή το ορθογώνιο παραλληλόγραμμο με διαστάσεις  $\Delta u$  και  $\Delta v$  να απεικονίζεται μέσω της  $\mathbf{r}$  σε ένα παραλληλόγραμμο - με την ευρεία έννοια του όρου - επί της επιφάνειας  $S$ , που ορίζεται από τα διανύσματα

$$\mathbf{r}_u \Delta u \quad \text{και} \quad \mathbf{r}_v \Delta v$$

και το οποίο έχει εμβαδόν

$$\Delta S = |\mathbf{r}_u \times \mathbf{r}_v| \Delta u \Delta v. \quad (20.2.2 - 3)$$

Το  $\Delta S$  είναι δυνατόν να θεωρηθεί τότε ως το **στοιχειώδες εμβαδόν** της επιφάνειας  $S$ .



**Σχήμα 20.2.2 - 1:** το θεμελιώδες διανυσματικό γινόμενο  $w$  και αντίστοιχο θεμελιώδες εμβαδόν.

### Παράδειγμα 20.2.2 - 1

Ζητείται το θεμελιώδες διανυσματικό γινόμενο της επιφάνειας με διανυσματική εξίσωση ( $\Sigma\chi$ . 20.2.2 - 2a)

$$\mathbf{r}(u, v) = (u + v)\mathbf{i} + (u - v)\mathbf{j} + v^2\mathbf{k}.$$

**Λύση.** Είναι

$$X(u, v) = u + v, \quad Y(u, v) = u - v \quad \text{και} \quad Z(u, v) = v^2.$$

Τότε

$$\frac{\partial \mathbf{r}}{\partial u} = \mathbf{i} + \mathbf{j} \quad \text{και} \quad \frac{\partial \mathbf{r}}{\partial v} = \mathbf{i} - \mathbf{j} + 2v\mathbf{k},$$

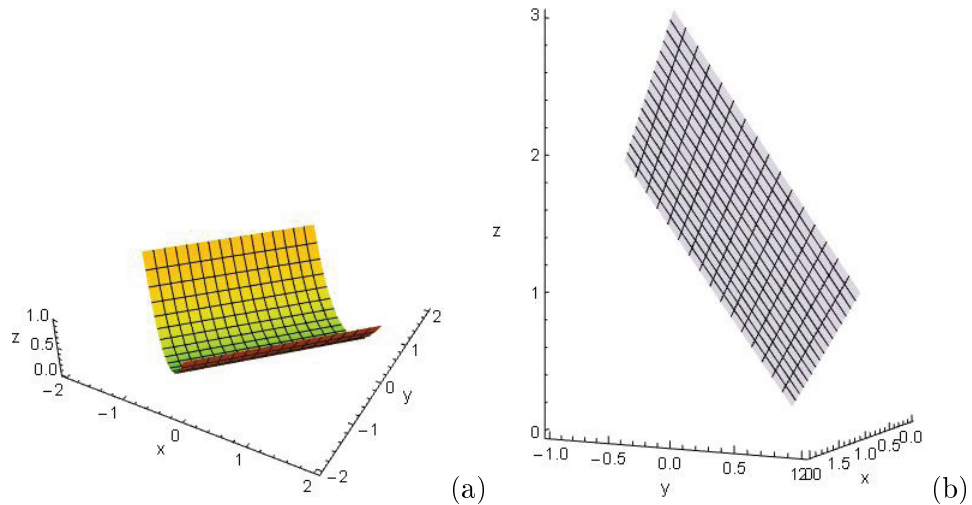
οπότε

$$\mathbf{w} = 2v\mathbf{i} - 2v\mathbf{j} - 2v\mathbf{k}.$$

■

### Άσκηση

Να υπολογιστεί το θεμελιώδες διανυσματικό γινόμενο των παρακάτω επιφανειών με παραμετρικές εξισώσεις:

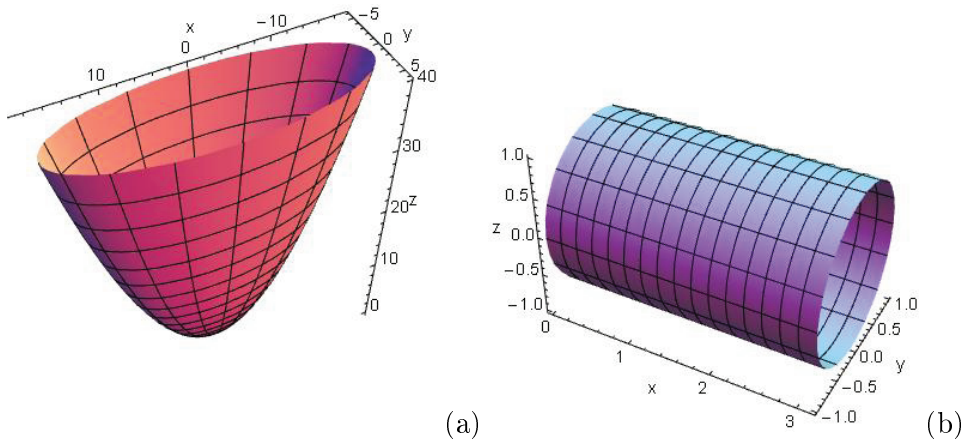


**Σχήμα 20.2.2 - 2:** Η επιφάνεια  $S$  στο: (a) Παράδειγμα 20.2.2 - 1 και (b) στην Άσκηση (i), όταν  $x_0 = y_0 = z_0 = 0$ ,  $a_1 = a_2 = a_3 = b_1 = 1$ ,  $b_2 = -1$ , και  $b_3 = 2$ .

i)  $\mathbf{r}(u, v) = (x_0 + a_1 u + b_1 v) \mathbf{i} + (y_0 + a_2 u + b_2 v) \mathbf{j} + (z_0 + a_3 u + b_3 v) \mathbf{k}$   
**επίπεδο** - plane - ( $\Sigma\chi.$  20.2.2 - 2b).

ii)  $\mathbf{r}(u, v) = a u \cos v \mathbf{i} + b u \sin v \mathbf{j} + u^2 \mathbf{k}$   
**ελλειπτικό παραβολοειδές** - elliptic paraboloid - ( $\Sigma\chi.$  20.2.2 - 3a),  
ενώ το αντίστοιχο **υπερβολικό παραβολοειδές** - elliptic paraboloid  
 $\mathbf{r}(u, v) = a(u + v) \mathbf{i} \pm b v \mathbf{j} + (u^2 + 2uv) \mathbf{k}$ .

iii)  $\mathbf{r}(u, v) = u \mathbf{i} + a \sin v \mathbf{j} + a \cos v \mathbf{k}$   
**κυκλικός κύλινδρος** (cylinder) με βάση στο  $yz$ -επίπεδο ακτίνας  $a$  ( $\Sigma\chi.$  20.2.2 - 3b). Ο αντίστοιχος κυκλικός κύλινδρος με βάση στο  $xy$ -επίπεδο ακτίνας  $a$  έχει παραμετρική εξίσωση  $\mathbf{r}(u, v) = a \sin v \mathbf{i} + a \cos v \mathbf{j} + u \mathbf{k}$ , ενώ ο **ελλειπτικός κύλινδρος** με βάση στο  $xy$ -επίπεδο και ημιάξονες  $a, b$  την  $\mathbf{r}(u, v) = a \sin v \mathbf{i} + b \cos v \mathbf{j} + u \mathbf{k}$



**Σχήμα** 20.2.2 - 3: Η επιφάνεια  $S$  στην: (a) 'Ασκηση (ii), όταν  $a=3$ ,  $b=1$  και  
(b) 'Ασκηση (iii), όταν  $a=1$ .

iv)  $\mathbf{r}(u, v) = R \cos v \cos u \mathbf{i} + R \sin u \cos v \mathbf{j} + R \sin v \mathbf{k}$   
**σφαίρα** (sphere) ακτίνας  $R$  - (Σχ. 20.2.2 - 4a),

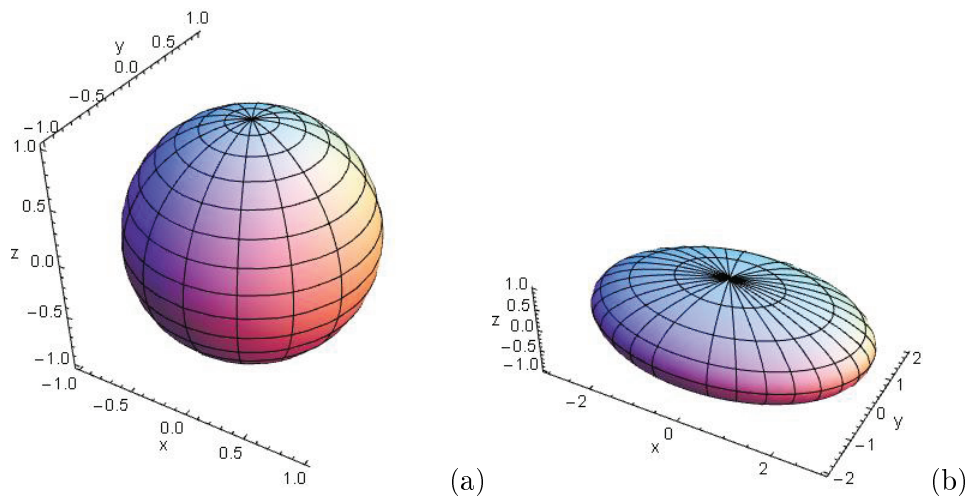
v)  $\mathbf{r}(u, v) = a \sin u \cos v \mathbf{i} + b \sin u \sin v \mathbf{j} + c \cos u \mathbf{k}$   
**ελλειψοειδές** - ellipsoid - (Σχ. 20.2.2 - 4b).

Η εντολή υπολογισμού του θεμελιώδους διανυσματικού γινομένου της 'Ασκησης (v) με το MATHEMATICA είναι:

```
X[u_, v_] := a Sin[u] Cos[v]
Y[u_, v_] := b Sin[u] Sin[v]
Z[u_, v_] := c Cos[u]
Ru = {D[X[u, v], u], D[Y[u, v], u], D[Z[u, v], u]}
Rv = {D[X[u, v], v], D[Y[u, v], v], D[Z[u, v], v]}
w = Simplify[Cross[Ru, Rv]]
|w| = FullSimplify[Sqrt[vct.vct]]
```

ενώ του αντίστοιχου τριδιάστατου γραφικού

```
a = 3; b = 2; c = 1;
ParametricPlot3D[{X[u, v], Y[u, v], Z[u, v]}, {u, 0, 2 Pi}, {v, -Pi/2, Pi/2}, Boxed -> False,
AxesLabel -> {"x", "y", "z"}, PlotStyle -> {LightYellow, Thick},
BaseStyle -> {FontFamily -> "Arial", FontSize -> 14}]
```



**Συγκριτικά** 20.2.2 - 4: Η επιφάνεια  $S$  στην: (a) 'Ασκηση (iv), όταν  $R = 1$  και (b) 'Ασκηση (v), όταν  $a = 2, b = 2$  και  $c = 1$ .

## Απαντήσεις

- (i)  $\mathbf{w} = (-a_3 b_2 + a_2 b_3) \mathbf{i} + (a_3 b_1 - a_1 b_3) \mathbf{j} + (-a_2 b_1 + a_1 b_2) \mathbf{k}$ ,
  - (ii)  $\mathbf{w} = -2bu^2 \cos v \mathbf{i} - 2au^2 \sin v \mathbf{j} + abu \mathbf{k}$ , (iii)  $\mathbf{w} = a \sin v \mathbf{j} + a \cos v \mathbf{k}$ ,
  - (iv)  $\mathbf{w} = R^2 \cos u \cos^2 v \mathbf{i} + R^2 \sin u \cos^2 v \mathbf{j} + R^2 \sin u \cos v \mathbf{k}$ ,
  - (v)  $\mathbf{w} = bc \sin^2 u \cos v \mathbf{i} + ac \sin^2 u \sin v \mathbf{j} + ab \cos u \sin v \mathbf{k}$ .

### 20.2.3 Φυσική ερμηνεία και ορισμός

Για να γίνει περισσότερο κατανοητή η έννοια, το επιφανειακό ολοκλήρωμα δίνεται ως ένα παράδειγμα από τη μελέτη της ροής των ρευστών.

Αν  $(x, y, z)$  είναι ένα τυχόν σημείο του ρευστού, τότε έστω  $\rho = \rho(x, y, z)$  η πυκνότητα και  $\mathbf{v} = \mathbf{v}(x, y, z)$  η αντίστοιχη ταχύτητα, που θεωρείται ότι μεταβάλλονται σε κάθε σημείο του ρευστού και ορίζουν η 1η ένα βαθμωτό πεδίο (πυκνοτήτων) και η 2η ένα διανυσματικό πεδίο (ταχυτήτων).

Τότε ορίζεται το διανυσματικό πεδίο **πυκνοτήτων ροής** του ρευστού ως

$$\mathbf{F}(x, y, z) = \rho(x, y, z)\mathbf{v}(x, y, z)$$

και μετρά τη μεταβολή της μάζας του ρευστού ανά μονάδα εμβαδού στο σημείο  $(x, y, z)$ .

Έστω τώρα ότι ζητείται να υπολογιστεί η **ολική μάζα** του ρευστού, που διέρχεται από μία επιφάνεια  $S$  στη μονάδα του χρόνου. Υποτίθεται ότι η παραμετρική εξίσωση της  $S$  είναι της μορφής (20.2.1 – 2), δηλαδή

$$\mathbf{r} = \mathbf{r}(u, v) = X(u, v)\mathbf{i} + Y(u, v)\mathbf{j} + Z(u, v)\mathbf{k}, \quad \text{όταν } (u, v) \in T \quad (20.2.3 - 1)$$

και ότι ο τόπος  $T$  έχει το σχήμα ορθογώνιου παραλληλογράμμου, όπου οι συναρτήσεις  $X, Y$  και  $Z$  παραγωγίζονται ως προς  $u$  και  $v$  αντίστοιχα.

Έστω επίσης ότι ο τόπος  $T$  έχει διαμεριστεί στα επιμέρους ορθογώνια παραλληλόγραμμα

$$T_1, \quad T_2, \quad \dots, \quad T_\nu. \quad (20.2.3 - 2)$$

Τότε, επειδή μέσω της  $\mathbf{r} = \mathbf{r}(u, v)$ , όπως αυτή ορίζεται στην (20.2.3 – 1), είναι

$$\mathbf{r} : T \longrightarrow S,$$

σύμφωνα με τις διαμερίσεις (20.2.3 – 2) θα έχουμε

$$\mathbf{r} : T_1 \rightarrow S_1, \quad \mathbf{r} : T_2 \rightarrow S_2, \dots, \mathbf{r} : T_\nu \rightarrow S_\nu,$$

δηλαδή η επιφάνεια  $S$  διαμερίζεται στις επιμέρους επιφάνειες

$$S_1, \quad S_2, \quad \dots, \quad S_\nu$$

με αντίστοιχα εμβαδά

$$E_1, \quad E_2, \quad \dots, \quad E_\nu.$$

Υποθέτοντας ότι η πυκνότητα  $\rho$  και η ταχύτητα  $\mathbf{v}$  στην επιφάνεια  $S_k$  για κάθε  $k = 1, 2, \dots, \nu$  είναι σταθερές, ο όγκος του ρευστού που διέρχεται από την επιφάνεια  $S_k$ , θα ισούται με τον όγκο του στερεού, που έχει βάση  $E_k$  παράπλευρες ακμές παράλληλες προς το διάνυσμα  $\mathbf{v}$  και ύψος  $h_k = \mathbf{V} \cdot \mathbf{n}$ , όπου  $\mathbf{n} = \mathbf{w}/|\mathbf{w}|$  το **μοναδιαίο διάνυσμα** κατά τη διεύθυνση του θεμελιώδους διανύσματος

$$\mathbf{w} = \frac{\partial \mathbf{r}}{\partial u} \times \frac{\partial \mathbf{r}}{\partial v}$$

και το οποίο όπως είναι ήδη γνωστό από την Παράγραφο 20.2.2 είναι **κάθετο** στην επιφάνεια  $S_k$  για κάθε  $k = 1, 2, \dots, \nu$  ( $\Sigma\chi.$  20.2.3 - 1).

Η μάζα του ρευστού που διέρχεται από την επιφάνεια  $S_k$  στην περίπτωση αυτή είναι

$$m_k = \rho V_k = \rho (E_k h_k) = \rho E_k (\mathbf{V} \cdot \mathbf{n}) = E_k (\rho \mathbf{V} \cdot \mathbf{n}) = E_k (\mathbf{F} \cdot \mathbf{n})$$

για κάθε  $k = 1, 2, \dots, \nu$  και κατά συνέπεια η ολική μάζα  $M$  ισούται με

$$M = \sum_{k=1}^{\nu} m_k = \sum_{k=1}^{\nu} E_k (\mathbf{F} \cdot \mathbf{n}).$$

'Εστω

$$\mathbf{F} \cdot \mathbf{n} = \varphi,$$

όταν λόγω του εσωτερικού γινομένου το  $\varphi$  είναι **βαθμωτό μέγεθος**. Τότε σύμφωνα με τον τύπο (20.2.2 - 3) είναι

$$E_k = \left| \frac{\partial \mathbf{r}}{\partial u} \times \frac{\partial \mathbf{r}}{\partial v} \right| \Delta u_k \Delta v_k,$$

οπότε τελικά

$$M = \sum_{k=1}^{\nu} \varphi \left| \frac{\partial \mathbf{r}}{\partial u} \times \frac{\partial \mathbf{r}}{\partial v} \right| \Delta u_k \Delta v_k. \quad (20.2.3 - 3)$$

Υποθέτοντας ότι το γινόμενο

$$\varphi \left| \frac{\partial \mathbf{r}}{\partial u} \times \frac{\partial \mathbf{r}}{\partial v} \right|$$

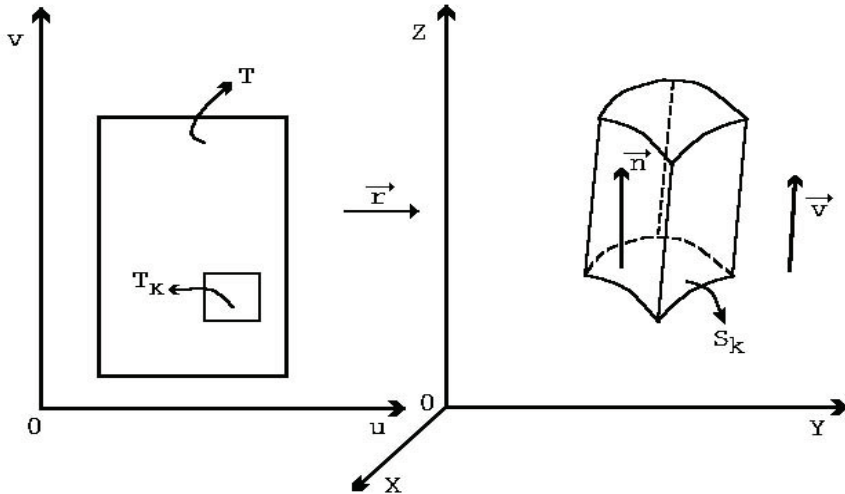
έχει **σταθερή τιμή** σε κάθε ανοικτό ορθογώνιο  $T_k$ , η ποσότητα αυτή ορίζει μία κλιμακωτή συνάρτηση, οπότε με ανάλογο συλλογισμό εκείνου του ορισμού του διπλού ολοκληρώματος,<sup>12</sup> όταν το  $\nu$  τείνει στο άπειρο, δηλαδή ο διαμερισμός του  $T$  γίνεται, έτσι ώστε οι αντίστοιχες μέσω της  $\mathbf{r}$  επιφάνειες  $S_k$  να έχουν διαγώνιο που τείνει στο μηδέν, δηλαδή **απειροστή επιφάνεια**  $ds$ , η (20.2.3-3) εκφράζεται με τη μορφή ενός διπλού ολοκληρώματος με μεταβλητές  $u$  και  $v$ , δηλαδή

$$M = \iint_T \varphi \left| \frac{\partial \mathbf{r}}{\partial u} \times \frac{\partial \mathbf{r}}{\partial v} \right| du dv. \quad (20.2.3 - 4)$$

Σύμφωνα και με την (20.2.3 - 4) έχουμε τους παρακάτω ορισμούς του επιφανειακού ολοκληρώματος.

---

<sup>12</sup> Βλέπε Μάθημα *Πολλαπλά Ολοκληρώματα - Διπλά ολοκληρώματα*.



**Σχήμα 20.2.3 - 1:** φυσική ερμηνεία επιφανειακού ολοκληρώματος.

### Σε βαθμωτό πεδίο (1ο είδος)

**Ορισμός 20.2.3 - 1.** Έστω  $S$  μία επιφάνεια με παραμετρική εξίσωση

$$\mathbf{r}(u, v) = X(u, v)\mathbf{i} + Y(u, v)\mathbf{j} + Z(u, v)\mathbf{k}, \quad \text{όταν } (u, v) \in T$$

και φ μία **βαθμωτή** συνάρτηση που ορίζεται επί της  $S$ . Τότε ορίζεται ως επιφανειακό ολοκλήρωμα του 1ου είδους της φ επί της  $S$  το

$$\iint_S \varphi \, ds = \iint_T \varphi [\mathbf{r}(u, v)] \left| \frac{\partial \mathbf{r}}{\partial u} \times \frac{\partial \mathbf{r}}{\partial v} \right| \, du \, dv, \quad (20.2.3 - 5)$$

όταν το τελευταίο ολοκλήρωμα υπάρχει.

Εφαρμογές του επιφανειακού ολοκληρώματος του 1ου είδους θα δοθούν στην Παράγραφο 20.2.4, που ακολουθεί.

### Σε διανυσματικό πεδίο (2ο είδος)

**Ορισμός 20.2.3 - 2.** Έστω  $S$  μία επιφάνεια με παραμετρική εξίσωση

$$\mathbf{r}(u, v) = X(u, v)\mathbf{i} + Y(u, v)\mathbf{j} + Z(u, v)\mathbf{k}, \quad \text{όταν } (u, v) \in T$$

και  $\mathbf{F}$  μία διανυσματική συνάρτηση που ορίζεται επί της  $S$ . Τότε ορίζεται ως επιφανειακό ολοκλήρωμα του 2ου είδους της  $\mathbf{F}$  επί της  $S$  το

$$\iint_S \mathbf{F} \cdot d\mathbf{s} = \iint_T \mathbf{F}[\mathbf{r}(u, v)] \cdot \mathbf{w} du dv, \quad (20.2.3 - 6)$$

όταν

$$\mathbf{w} = \frac{\partial \mathbf{r}}{\partial u} \times \frac{\partial \mathbf{r}}{\partial v}$$

το διάνυσμα του θεμελιώδους γινομένου και το ολοκλήρωμα (20.2.3 – 6) υπάρχει.

### Σημειώσεις 20.2.3 - 1

- Στην περίπτωση που η επιφάνεια είναι κλειστή, τότε χρησιμοποιείται ο συμβολισμός

$$\oint_S \oint \mathbf{F} \cdot d\mathbf{s}. \quad (20.2.3 - 7)$$

- Το επιφανειακό ολοκλήρωμα (20.2.3 – 6) εκφράζει τη ροή (flux) του πεδίου  $F$  στην επιφάνεια  $S$  (βλέπε Παράγραφο 20.2.3).

### Παράδειγμα 20.2.3 - 1

Να υπολογιστεί το επιφανειακό ολοκλήρωμα

$$\iint_S \mathbf{F} \cdot d\mathbf{s},$$

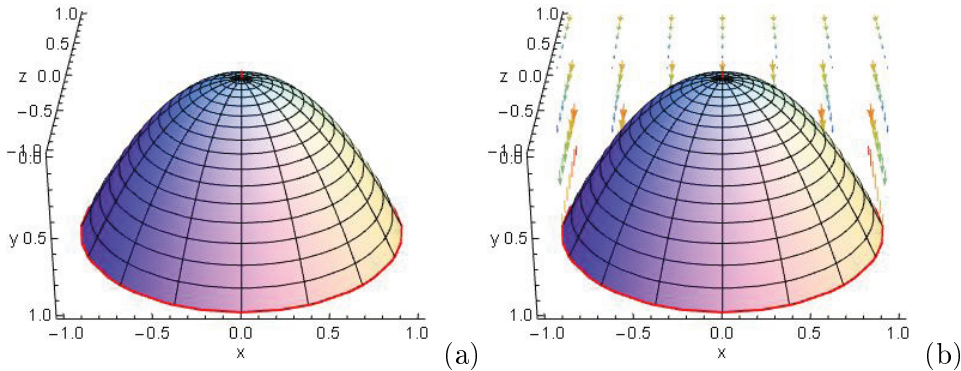
όταν  $S$  το παραβολοειδές ( $\Sigma\chi$ . 20.2.3 - 2a)

$$y = x^2 + z^2, \quad y \in [0, 1] \quad \text{και} \quad x^2 + z^2 \leq 1, \quad \text{όταν} \quad y = 1$$

και  $F$  το διανυσματικό πεδίο

$$\mathbf{F} = y \mathbf{j} - z \mathbf{k} \quad (\Sigma\chi. 20.2.3 - 2a).$$

**Λύση.** Η εξίσωση του παραβολοειδούς είναι της μορφής  $y = g(x, z)$ , οπότε μια παραμετρική εξίσωσή του είναι δυνατόν να προκύψει από την παραμετρική



**Σχήμα 20.2.3 - 2:** Παράδειγμα 20.2.3 - 1: (a) η επιφάνεια  $S$  - παραβολοειδές με βάση (κόκκινη καμπύλη) στο  $xz$ -επίπεδο και θετική φορά διαγραφής - με παραμετρική εξίσωση  $\mathbf{r}(u, v) = v \sin u \mathbf{i} + v^2 \mathbf{j} + v \cos u \mathbf{k}$  και (b) η ροή του διανυσματικού πεδίου  $\mathbf{F} = y \mathbf{j} - z \mathbf{k}$  στην  $S$ .

εξίσωση της  $g(x, z)$ , που είναι στην περίπτωση αυτή ο χυκλικός δίσκος στο  $xz$ -επίπεδο κέντρου  $(0, 0)$  και ακτίνας  $R = 1$ .

Άρα χρησιμοποιώντας τους γνωστούς τύπους για την παραμετρική μορφή περιφέρειας (πολικές συντεταγμένες)<sup>13</sup> έχουμε

$$x = R \cos \theta, \quad z = R \sin \theta, \quad \text{όταν } \theta \in [0, 2\pi], \quad R \in [0, 1].$$

Έστω

$$\theta \rightarrow u \quad \text{και} \quad R = v.$$

Επειδή η εξίσωση του παραβολοειδούς είναι  $y = x^2 + z^2$ , σύμφωνα με την παραπάνω παραμετρική μορφή των  $x, y$  πρέπει  $y = v^2 \sin^2 u + v^2 \cos^2 u = v^2$ , οπότε η παραμετρική εξίσωση είναι

$$\begin{aligned} \mathbf{r}(u, v) &= X(u, v) \mathbf{i} + Y(u, v) \mathbf{j} + Z(u, v) \mathbf{k} \\ &= v \sin u \mathbf{i} + v^2 \mathbf{j} + v \cos u \mathbf{k}, \end{aligned}$$

όταν

$$T = \{(u, v) : u \in [0, 2\pi] \text{ και } v \in [0, 1]\}.$$

<sup>13</sup>Βλέπε Μάθημα Διανυσματικές Συναρτήσεις.

Τότε

$$x = X(u, v) = v \sin u, \quad y = Y(u, v) = v^2 \quad και$$

$$z = Z(u, v) = v \cos u.$$

$\mathbf{A}_{\rho\alpha}$

$$\begin{aligned} \mathbf{F}[\mathbf{r}(u, v)] &= \mathbf{F} = y \mathbf{j} - z \mathbf{k} \\ &= v^2 \mathbf{j} - v \cos u \mathbf{k} = \langle 0, v^2, -v \cos u \rangle. \quad (20.2.3 - 8) \end{aligned}$$

Εντού

$$\frac{\partial \mathbf{r}}{\partial u} = v \cos u \mathbf{i} + 0 \mathbf{j} - v \sin u \mathbf{k},$$

$$\frac{\partial \mathbf{r}}{\partial v} = \sin u \mathbf{i} + 2v \mathbf{j} + \cos u \mathbf{k},$$

οπότε το θεμελιώδες γινόμενο θα ισούται με

$$\begin{aligned} \mathbf{w} &= \frac{\partial \mathbf{r}}{\partial u} \times \frac{\partial \mathbf{r}}{\partial v} = \begin{vmatrix} \mathbf{i} & \mathbf{j} & \mathbf{k} \\ v \cos u & 0 & -v \sin u \\ \sin u & 2v & \cos u \end{vmatrix} \\ &= 2v^2 \sin u \mathbf{i} - v \mathbf{j} + 2v^2 \cos u \mathbf{k} \\ &= \langle 2v^2 \sin u, -v, 2v^2 \cos u \rangle. \quad (20.2.3 - 9) \end{aligned}$$

Από τις (20.2.3 - 8) και (20.2.3 - 9) προκύπτει τότε ότι

$$\begin{aligned} \mathbf{F} \cdot \mathbf{w} &= \langle 0, v^2, -v \cos u \rangle \cdot \langle 2v^2 \sin u, -v, 2v^2 \cos u \rangle \\ &= -v^3 (1 + 2 \cos^2 u), \quad (20.2.3 - 10) \end{aligned}$$

οπότε αντικαθιστώντας στον τύπο (20.2.3 – 6) διαδοχικά έχουμε

$$\begin{aligned}
 \iint_S \mathbf{F} \cdot d\mathbf{s} &= \iint_T \mathbf{F}[\mathbf{r}(u, v)] \cdot \mathbf{w} du dv \\
 &= - \int_0^{2\pi} (1 + 2 \cos^2 u) \left[ \int_0^1 v^3 dv \right] du \\
 &= - \int_0^{2\pi} (1 + 2 \cos^2 u) \left[ \frac{v^4}{4} \right] du \\
 &= - \frac{1}{4} \int_0^{2\pi} (1 + 2 \cos^2 u) du \\
 &= - \frac{1}{4} \int_0^{2\pi} \left[ 1 + 2 \left( \frac{1 + \cos 2u}{2} \right) \right] du \\
 &= - \frac{1}{4} \left[ 2u + \frac{1}{2} \sin 2u \right]_0^{2\pi} = -\pi.
 \end{aligned}$$

Ο υπολογισμός με το MATHEMATICA έγινε με το παρακάτω πρόγραμμα:

**Πρόγραμμα 20.2.3 - 1** (επιφανειακού ολοκληρώματος 2ου είδους)

```

Z[u_, v_] := v Cos[u]
X[u_, v_] := v Sin[u]
Y[u_, v_] := v^2
Ru = {D[X[u, v], u], D[Y[u, v], u], D[Z[u, v], u]};
Rv = {D[X[u, v], v], D[Y[u, v], v], D[Z[u, v], v]};
Print["r_u = ", Ru]; Print["r_v = ", Rv];
vct = Simplify[Cross[Ru, Rv]];
Print["Fundamental Product = ", Simplify[Cross[Ru, Rv]]]
F[u_, v_] := {0, Y[u, v], -Z[u, v]}
Print["F[r(u,v)].w = ", F[u, v].vct]
Integrate[F[u, v].vct, {u, 0, 2 Pi}, {v, 0, 1}]

```

της επιφάνειας  $S$  με την εντολή:

```
S = ParametricPlot3D[{X[u, v], Y[u, v], Z[u, v]}, {u, 0, 2 Pi}, {v, 0, 1}, Boxed -> False, AxesLabel -> {"x", "y", "z"}, PlotStyle -> {LightYellow, Thick}, BaseStyle -> {FontFamily -> "Arial", FontSize -> 14}, ViewPoint -> {0, -2, -4}, BoundaryStyle -> Directive[Red, Thick]]
```

και του διανυσματικού πεδίου  $\mathbf{F}$  επί της  $S$ :

```
F = VectorPlot3D[{0, y, -z}, {x, -1, 1}, {y, -1, 1}, {z, 0, 1}, AxesLabel -> {"x", "y", "z"}, BaseStyle -> {FontFamily -> "Arial", FontSize -> 14}, VectorPoints -> 7, VectorScale -> Medium, VectorColorFunction -> "Rainbow"]
Show[S, F]
```

■

### Ασκηση

Να υπολογιστεί το επιφανειακό ολοκλήρωμα

$$\iint_S \mathbf{F} \cdot d\mathbf{s},$$

όταν  $S$  το παραβολοειδές  $z = 16 - x^2 - y^2$  ( $\Sigma\chi$ . 20.2.3 - 3a) με  $z \geq 0$  και  $\mathbf{F}$  το διανυσματικό πεδίο

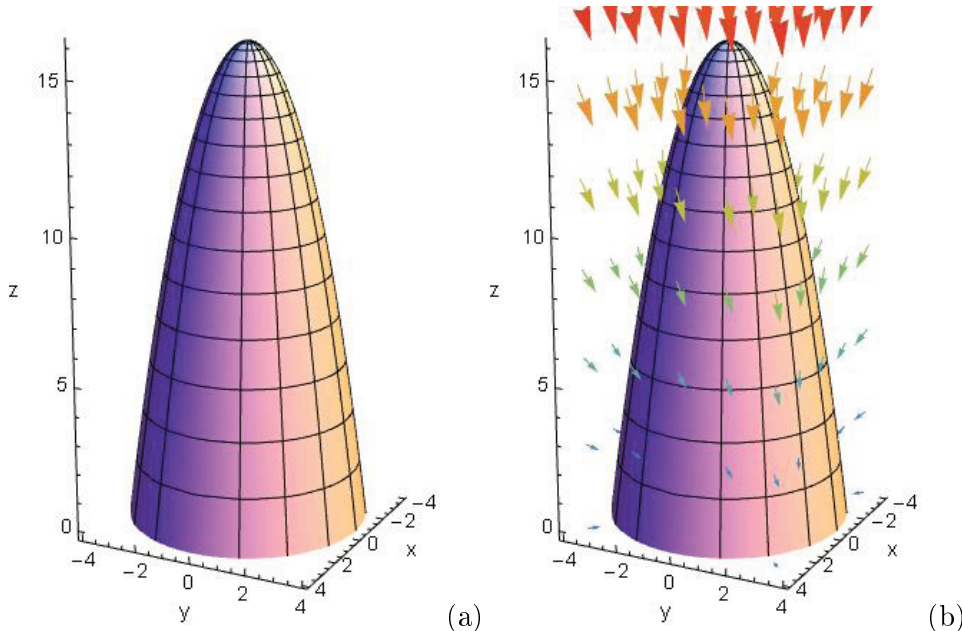
$$\mathbf{F} = y \mathbf{j} + x \mathbf{j} + z \mathbf{k} \quad (\Sigma\chi. 20.2.3 - 3b)$$

με κατεύθυνση την αρνητική φορά του  $z$ -άξονα.

### Απαντήσεις

Θεμελιώδες διανυσματικό γινόμενο  $w = -2v^2 \cos u i - 2v^2 \sin u j - v k$ , οπότε

$$\iint_T \mathbf{F}[\mathbf{r}(u, v)] \cdot w du dv = \int_0^4 \int_0^{2\pi} [-v(16 - v^2) - 4v^3 \cos u \sin u] du dv = -128\pi.$$



**Σχήμα 20.2.3 - 3:** Παράδειγμα 20.2.3 - 1: (a) η επιφάνεια  $S$  - **παραβολοειδές** με βάση στο  $xy$ -επίπεδο και θετική φορά διαγραφής - με παραμετρική εξίσωση  $\mathbf{r}(u, v) = v \cos u \mathbf{i} + v \sin u \mathbf{j} + (16 - v^2) \mathbf{k}$  και (b) η ροή του διανυσματικού πεδίου  $\mathbf{F} = y \mathbf{j} + x \mathbf{j} + z \mathbf{k}$  στην  $S$ .

#### 20.2.4 Εφαρμογές επιφανειακού ολοκληρώματος

Οι σημαντικότερες ανάλογα με τη φυσική ερμηνεία της συνάρτησης  $\varphi$  δίνονται στη συνέχεια.

- **εμβαδόν**  $\varphi = 1$

Τότε ο τύπος (20.2.3 - 5) γράφεται

$$\iint_S ds = \iint_T \left| \frac{\partial \mathbf{r}}{\partial u} \times \frac{\partial \mathbf{r}}{\partial v} \right| du dv \quad (20.2.4 - 1)$$

και εκφράζει το **εμβαδόν** της επιφάνειας  $S$ .

- **ολική μάζα**

Αν η  $\varphi$  παριστάνει την **πυκνότητα**  $\rho$  της μάζας ανά μονάδα εμβαδού για

το υλικό ενός λεπτού κελύφους, που έχει το σχήμα της επιφανείας  $S$ , τότε η **ολική μάζα**  $M$  του κελύφους δίνεται από τον τύπο

$$M = \iint_S \rho \, ds = \iint_T \rho [\mathbf{r}(u, v)] \left| \frac{\partial \mathbf{r}}{\partial u} \times \frac{\partial \mathbf{r}}{\partial v} \right| \, du \, dv. \quad (20.2.4 - 2)$$

Στην περίπτωση αυτή οι συντεταγμένες  $(\bar{x}, \bar{y}, \bar{z})$  του κέντρου μάζας δίνονται από τους τύπους

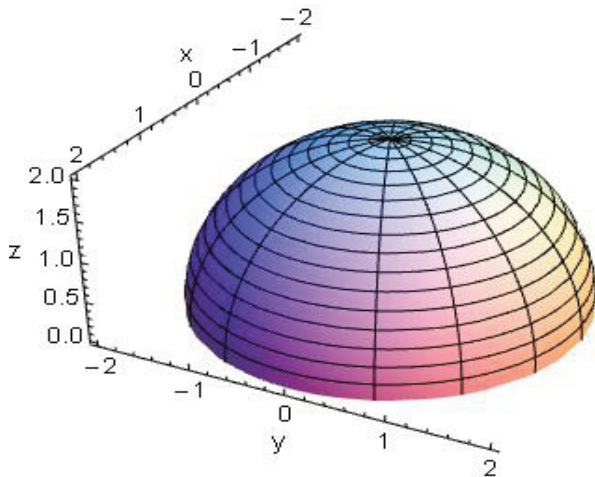
$$\begin{aligned} \bar{x} &= \frac{1}{M} \iint_S x \rho(x, y, z) \, ds \\ &= \frac{1}{M} \iint_T X(u, v) \rho [\mathbf{r}(u, v)] \left| \frac{\partial \mathbf{r}}{\partial u} \times \frac{\partial \mathbf{r}}{\partial v} \right| \, du \, dv, \end{aligned}$$

$$\begin{aligned} \bar{y} &= \frac{1}{M} \iint_S y \rho(x, y, z) \, ds \\ &= \frac{1}{M} \iint_T Y(u, v) \rho [\mathbf{r}(u, v)] \left| \frac{\partial \mathbf{r}}{\partial u} \times \frac{\partial \mathbf{r}}{\partial v} \right| \, du \, dv, \end{aligned}$$

$$\begin{aligned} \bar{z} &= \frac{1}{M} \iint_S z \rho(x, y, z) \, ds \\ &= \frac{1}{M} \iint_T Z(u, v) \rho [\mathbf{r}(u, v)] \left| \frac{\partial \mathbf{r}}{\partial u} \times \frac{\partial \mathbf{r}}{\partial v} \right| \, du \, dv. \end{aligned} \quad (20.2.4 - 3)$$

### • **ροπή αδράνειας**

Αν  $d = d(x, y, z)$  είναι η κάθετη απόσταση από τον άξονα  $l$  τυχόντος σημείου  $M(x, y, z)$  της επιφάνειας  $S$ , τότε η **ροπή αδράνειας** I της  $S$



**Σχήμα 20.2.4 - 1:** Το άνω ημισφαίριο της σφαίρας του Παραδείγματος 20.2.4 - 1, όταν  $R = 2$ .

ως προς τον άξονα  $l$  είναι

$$\begin{aligned} I_l &= \iint_S d^2(x, y, z) \varphi(x, y, z) ds \\ &= \iint_T d^2[\mathbf{r}(u, v)] \varphi[\mathbf{r}(u, v)] \left| \frac{\partial \mathbf{r}}{\partial u} \times \frac{\partial \mathbf{r}}{\partial v} \right| du dv. \end{aligned} \quad (20.2.4 - 4)$$

### Παράδειγμα 20.2.4 - 1

Ζητείται να υπολογιστεί η επιφάνεια  $S$ , η ολική μάζα  $M$  και οι συντεταγμένες  $(\bar{x}, \bar{y}, \bar{z})$  του κέντρου της μάζας του άνω ημισφαίριου της σφαίρας (Σχ. 20.2.4 - 1)

$$x^2 + y^2 + z^2 = R^2,$$

όταν η πυκνότητα  $\rho(x, y, z) = c$  σταθερά.

**Λύση.** Μια παραμετρική εξίσωση της σφαίρας δίνεται από τον τύπο

$$\begin{aligned} \mathbf{r}(u, v) &= X(u, v) \mathbf{i} + Y(u, v) \mathbf{j} + Z(u, v) \mathbf{k} \\ &= R \cos u \cos v \mathbf{i} + R \sin u \cos v \mathbf{j} + R \sin v \mathbf{k}, \end{aligned}$$

όταν  $u \in [0, 2\pi]$  και  $v \in [0, \pi/2]$ , επειδή πρόκειται για το άνω ημισφαίριο.

$A_{\rho\alpha}$

$$\begin{aligned} x &= X(u, v) = R \cos u \cos v, \\ y &= Y(u, v) = R \sin u \cos v \quad \text{και} \\ z &= R \sin v. \end{aligned} \tag{20.2.4 - 5}$$

Τότε

$$\begin{aligned} \frac{\partial \mathbf{r}}{\partial u} &= -R \sin u \cos v \mathbf{i} + R \cos u \cos v \mathbf{j} \\ \frac{\partial \mathbf{r}}{\partial v} &= -R \cos u \sin v \mathbf{i} - R \sin u \sin v \mathbf{j} + R \cos v \mathbf{k}, \end{aligned}$$

οπότε

$$\begin{aligned} \mathbf{w} = \frac{\partial \mathbf{r}}{\partial u} \times \frac{\partial \mathbf{r}}{\partial v} &= \begin{vmatrix} \mathbf{i} & \mathbf{j} & \mathbf{k} \\ -R \sin u \cos v & R \cos u \cos v & 0 \\ -R \cos u \sin v & -R \sin u \sin v & R \cos v \end{vmatrix} \\ &= \begin{vmatrix} R \cos u \cos v & 0 \\ -R \sin u \sin v & R \cos v \end{vmatrix} \mathbf{i} \\ &\quad - \begin{vmatrix} -R \sin u \cos v & 0 \\ -R \sin u \sin v & R \cos v \end{vmatrix} \mathbf{j} \\ &\quad + \begin{vmatrix} -R \sin u \cos v & R \cos u \cos v \\ -R \cos u \sin v & -R \sin u \sin v \end{vmatrix} \mathbf{k} \\ &= R^2 \cos u \cos^2 v \mathbf{i} + R^2 \sin u \cos^2 v \mathbf{j} + R^2 \sin v \cos v \mathbf{k}. \end{aligned}$$

Επομένως

$$\begin{aligned}
 |\mathbf{w}| &= \left| \frac{\partial \mathbf{r}}{\partial u} \times \frac{\partial \mathbf{r}}{\partial v} \right| \\
 &= R^2 \sqrt{\cos^2 u \cos^4 v + \sin^2 u \cos^4 v + \sin^2 v \cos^2 v} \\
 &= R^2 \sqrt{\cos^4 v (\cos^2 u + \sin^2 u) + \sin^2 v \cos^2 v} \\
 &= R^2 \sqrt{\cos^2 v (\cos^2 v + \sin^2 v)} \\
 &= R^2 \cos v. \tag{20.2.4 - 6}
 \end{aligned}$$

Τότε το εμβαδόν  $E$  της επιφάνειας  $S$  σύμφωνα με τον τύπο (20.2.4 - 1) είναι

$$\begin{aligned}
 E(s) = \iint_S ds &= \int_0^{2\pi} \int_0^{\pi/2} R^2 \cos v \, du \, dv \\
 &= R^2 \int_0^{2\pi} \left[ \int_0^{\pi/2} \cos v \, dv \right] \, du = 2\pi R^2
 \end{aligned}$$

και η ολική μάζα  $M$  με τον τύπο (20.2.4 - 2)

$$M = \iint_S \rho(x, y, z) \, ds = cR^2 \int_0^{2\pi} \int_0^{\pi/2} \cos v \, du \, dv = 2\pi R^2 c,$$

όπου  $\rho(x, y, z) = c$  σταθερά.

Επειδή πρόκειται για το άνω ημισφαίριο, λόγω συμμετρίας πρέπει

$$\bar{x} = \bar{y} = 0,$$

οπότε αρχεί να υπολογιστεί το  $\bar{z}$ . Τότε σύμφωνα με τον τύπο (20.2.4 - 5) είναι

$$z = Z(u, v) = R \sin v,$$

ενώ με τον (20.2.4 - 6)

$$|\mathbf{w}| = R^2 \cos v,$$

διαδοχικά έχουμε

$$\begin{aligned}
 \bar{z} &= \frac{1}{M} \iint_S z \underbrace{\rho(x, y, z)}_{\substack{c \sigma \tau \alpha \theta \varepsilon \rho \alpha \\ R \sin v}} ds = \frac{c}{M} \iint_S z ds \\
 &= \frac{c}{M} \iint_T \underbrace{Z(u, v)}_{R \sin v} \overbrace{\left| \frac{\partial \mathbf{r}}{\partial u} \times \frac{\partial \mathbf{r}}{\partial v} \right|}^{R^2 \cos v} du dv \\
 &= \frac{cR^3}{M} \int_0^{2\pi} \left[ \int_0^{\pi/2} \cos v \sin v dv \right] du = \frac{cR^3}{2M} \int_0^{2\pi} \left[ \frac{1}{2} \int_0^{\pi/2} \sin 2v dv \right] du \\
 &= \frac{cR^3}{2M} \int_0^{2\pi} \left[ -\frac{1}{2} \cos 2v \right]_0^{\pi/2} du = \frac{cR^3}{2M} \int_0^{2\pi} \frac{1}{2} du = \frac{cR^3}{2M} \int_0^{2\pi} du \\
 &= \frac{2\pi cR^3}{4M} = \frac{R}{2}, \quad \delta \tau \alpha \nu \quad M = 2\pi R^2 c.
 \end{aligned}$$

$$\text{Άρα} \quad (\bar{x}, \bar{y}, \bar{z}) = \left( 0, 0, \frac{R}{2} \right).$$

Ο υπολογισμός με το MATHEMATICA έγινε με το παρακάτω πρόγραμμα:

#### Πρόγραμμα 20.2.4 - 2 (επιφανειακού ολοκληρώματος λου είδους)

```

X[u_, v_] := R Cos[u] Cos[v]
Y[u_, v_] := R Sin[u] Cos[v]
Z[u_, v_] := R Sin[v]
Ru = {D[X[u, v], u], D[Y[u, v], u], D[Z[u, v], u]}
Rv = {D[X[u, v], v], D[Y[u, v], v], D[Z[u, v], v]}
vct = Simplify[Cross[Ru, Rv]]
Print["Modulus Fundamental Product = ", Simplify[Sqrt[vct.vct]]]
f[u_, v_] := c
Print["Density = ", f[u, v]]
Print["Surface Area = ",

```

```

Integrate[R^2 Cos[v], {u, 0, 2 Pi}, {v, 0, Pi/2}]
Print["Mass = ",
Integrate[R^2 Cos[v] f[u, v], {u, 0, 2 Pi}, {v, 0, Pi/2}]
Print["Centre of mass z = ",
Integrate[
Z[u, v] R^2 Cos[v] f[u, v], {u, 0, 2 Pi}, {v, 0,
Pi/2}]/(2 c Pi R^2)]
ParametricPlot3D[{X[u, v], Y[u, v], Z[u, v]}, {u, 0, 2 Pi}, {v, 0,
Pi/2}, Boxed -> False, AxesLabel -> {"x ", "y ", "z "},
PlotStyle -> {LightYellow, Thick},
BaseStyle -> {FontFamily -> "Arial", FontSize -> 14},
ViewPoint -> {Pi, Pi/2, 2}]

```

■

## Ασκηση

Έστω  $S$  το τυμήμα της επιφάνειας της σφαίρας

$$x^2 + y^2 + z^2 = 4$$

που περιορίζεται από τους θετικούς ημιαξονες  $Ox$ ,  $Oy$  και  $Oz$  (Σχ. 20.2.4 - 2). Αν η πυκνότητα της μάζας ανά μονάδα εμβαδού είναι

$$\rho(x, y, z) = x - 3y + 4,$$

να υπολογιστεί το εμβαδόν  $S$ , η μάζα και οι συντεταγμένες του κέντρου μάζας.

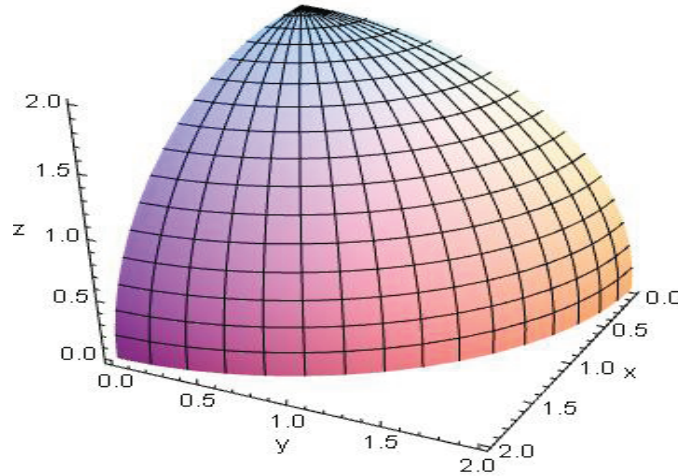
## Απαντήσεις

Σύμφωνα με την (20.2.4 - 6) είναι  $|\mathbf{w}| = R^2 \cos v$ , ενώ από την παραμετρική παράσταση της σφαίρας προκύπτει ότι

$$\rho(x, y, z) = x - 3y + 4 = 2 \cos u \cos v - 6 \sin u \cos v + 4.$$

$$\text{Άρα } S = 2\pi, \quad M = 4\pi \quad \text{και}$$

$$(\bar{x}, \bar{y}, \bar{z}) = \left( \frac{8}{3} - \frac{4}{\pi}, \frac{4}{3\pi}, 2 - \frac{8}{3\pi} \right).$$



**Σχήμα 20.2.4 - 2:** Ο τόπος μεταβολής των παραμέτρων είναι  $u \in [0, \frac{\pi}{2}]$  και  $v \in [0, \frac{\pi}{2}]$ .

### 20.2.5 Σχετικά θεωρήματα

Δίνονται στη συνέχεια ορισμένα βασικά θεωρήματα σχετικά με τα επικαμπύλια και τα επιφανειακά ολοκληρώματα με σημαντικές εφαρμογές στις θετικές επιστήμες, ενώ ο αναγνώστης, για μια εκτενέστερη μελέτη, παραπέμπεται στη βιβλιογραφία.

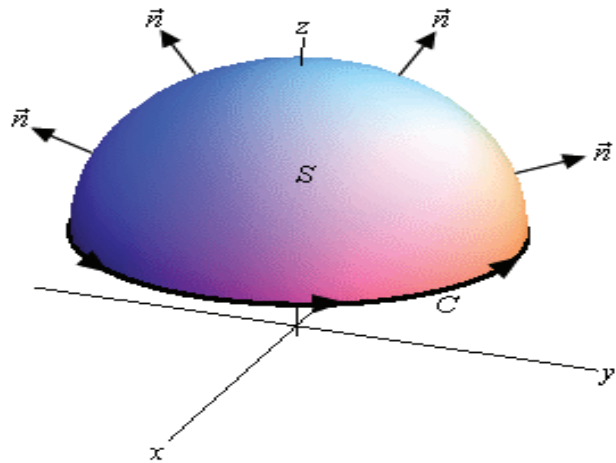
**Θεώρημα 20.2.5 - 1 (Stokes).** <sup>14</sup> Αν  $S$  είναι μία επιφάνεια, που έχει για σύνορο μία απλή κλειστή καμπύλη  $C$  και  $\mathbf{F}$  ένα διανυσματικό πεδίο, που ορίζεται πάνω στην  $S$  (Σχ. 20.2.5 - 1) και έχει παραγώγους 1ης τάξης συνεχείς συναρτήσεις, τότε αν  $\mathbf{n}$  είναι το μοναδιαίο κάθετο διάνυσμα στην επιφάνεια  $S$  και η φορά διαγραφής της καμπύλης  $C$  είναι η θετική, ισχύει

$$\oint_C \mathbf{F} \cdot d\mathbf{r} = \iint_S (\nabla \times \mathbf{F}) \cdot d\mathbf{s} = \iint_S (\nabla \times \mathbf{F}) \cdot \mathbf{n} ds. \quad (20.2.5 - 1)$$

Ο τύπος (20.2.5 - 1) είναι γνωστός ως **τύπος του Stokes**.

---

<sup>14</sup> Βλέπε επίσης [http://en.wikipedia.org/wiki/Stokes%27\\_theorem](http://en.wikipedia.org/wiki/Stokes%27_theorem) και γενικότερη αναζήτηση σε **Stokes' theorem**.



**Σχήμα 20.2.5 - 1:** Θεώρημα του Stokes.

### Παρατηρήσεις 20.2.5 - 1

- το θεώρημα εκφράζει μία σχέση μεταξύ ενός επιφανειακού ολοκληρώματος με ένα ή περισσότερα, σε πιο γενικές περιπτώσεις, επικαμπύλια ολοκληρώματα, που ορίζονται επάνω σε μία ή περισσότερες καμπύλες, που αποτελούν το σύνορο της επιφάνειας,
- το θεώρημα του Green αποτελεί μία ειδική περίπτωση του θεωρήματος του Stokes.

### Τύπος υπολογισμού

Έστω

$$\mathbf{F} = \mathbf{F}(x, y, z) \quad \text{και} \quad \mathbf{G} = \mathbf{G}(x, y, z) = \nabla \times \mathbf{F}.$$

Τότε

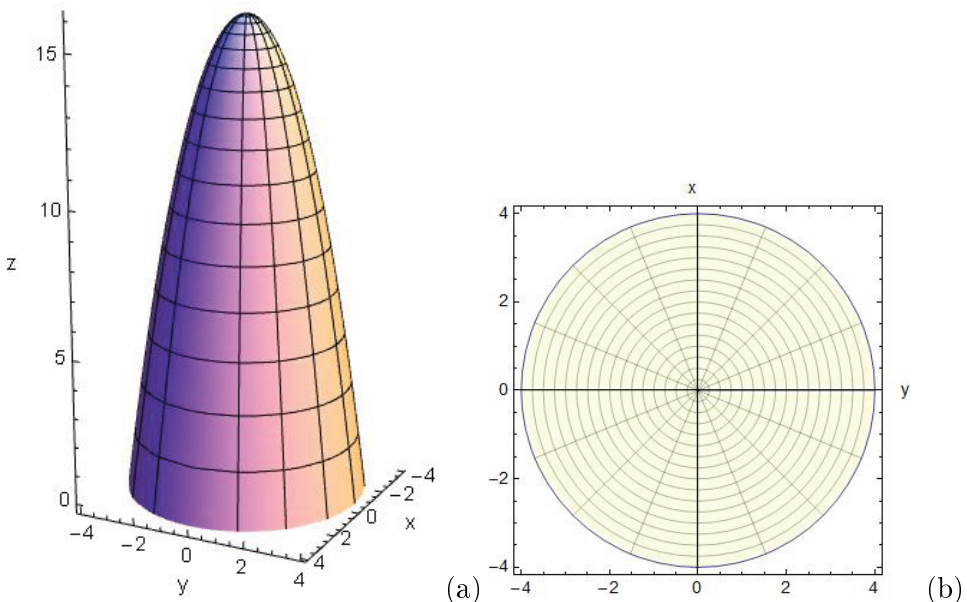
- αν η επιφάνεια  $S$  στο επιφανειακό ολοκλήρωμα  $\iint_S (\nabla \times \mathbf{F}) \cdot d\mathbf{s}$  του τύπου του Stokes έχει παραμετρική εξίσωση  $\mathbf{r}(u, v)$ , όταν  $(u, v) \in T$  με θεμελιώδες διανυσματικό γινόμενο  $\mathbf{w} = \mathbf{r}_u \times \mathbf{r}_v$ , ενώ
- η κλειστή καμπύλη  $C$  στο επικαμπύλιο ολοκλήρωμα  $\oint_C \mathbf{F} \cdot d\mathbf{r}$  έχει παραμετρική εξίσωση  $\mathbf{r}(t)$ ,

ο τύπος του Stokes γράφεται

$$\oint_C \mathbf{F}[\mathbf{r}(t)] \cdot \mathbf{r}'(t) dt = \iint_T \mathbf{G}[\mathbf{r}(u, v)] \cdot \mathbf{w} du dv. \quad (20.2.5 - 2)$$

### Παράδειγμα 20.2.5 - 1

Να επαληθευτεί (20.2.5 - 2) του Θεωρήματος του Stokes, όταν  $S$  είναι η επιφάνεια του παραβολοειδούς  $z = 16 - x^2 - y^2$  με  $z \geq 0$  ( $\Sigma\chi.$  20.2.5 - 2a) και  $\mathbf{F}$  το διανυσματικό πεδίο  $\mathbf{F} = 3y \mathbf{i} + 4z \mathbf{j} - 6x \mathbf{k}$ .



**Σχήμα 20.2.5 - 2:** Παράδειγμα 20.2.3 - 1: (a) η επιφάνεια  $S$  - **παραβολοειδές** στο  $xy$ -επίπεδο και θετική φορά διαγραφής - με παραμετρική εξίσωση  $\mathbf{r}(u, v) = v \cos u \mathbf{i} + v \sin u \mathbf{j} + (16 - v^2) \mathbf{k}$  και (b) ο κυκλικός δίσκος κέντρου  $(0, 0)$  ακτίνας  $R = 4$ . Η παραμετρική εξίσωση της περιφέρειας είναι  $\mathbf{r}(t) = 4 \cos t \mathbf{j} + 4 \sin t \mathbf{j}$ , όταν  $t \in [0, 2\pi]$ .

### Υπολογισμός του επικαμπύλιου ολοκληρώματος

Σύμφωνα με τη μεθοδολογία λύσης των αντίστοιχων επικαμπύλιων ολοκληρωμάτων του 2ου είδους της Παραγράφου 20.1.1 στην περίπτωση αυτή η

καμπύλη  $C$ , που είναι η βάση του παραβολοειδούς είναι περιφέρεια κύκλου κέντρου  $(0, 0)$  ακτίνας  $R = 4$  ( $\Sigma\chi.$  20.2.5 - 2b), έχει παραμετρική εξίσωση

$$\mathbf{r}(t) = x(t)\mathbf{j} + y(t)\mathbf{j} = 4 \cos t \mathbf{j} + 4 \sin t \mathbf{j}, \quad (20.2.5 - 3)$$

όπου  $t \in [0, 2\pi]$ .

Επομένως

$$x = x(t) = 4 \cos t, \quad y = y(t) = 4 \sin t \quad \text{και} \quad z = z(t) = 0,$$

οπότε

$$x'(t) = -4 \sin t, \quad y'(t) = 4 \cos t \quad \text{και} \quad z'(t) = 0. \quad (20.2.5 - 4)$$

Το διανυσματικό πεδίο γράφεται

$$\begin{aligned} \mathbf{F} &= \mathbf{F}(x, y, z) = P(x, y, z)\mathbf{i} + Q(x, y, z)\mathbf{j} + R(x, y, z)\mathbf{k} \\ &= 3y\mathbf{i} + 4z\mathbf{j} - 6x\mathbf{k}. \end{aligned}$$

Αριθμοφορνα και με την (20.2.5 - 4) είναι

$$\begin{aligned} P(x, y, z) &= 3y = 12 \sin t = P(t), \quad Q(x, y, z) = 4z = 16 \sin t = Q(t) \\ R(x, y, z) &= 0 = R(t), \end{aligned}$$

οπότε σύμφωνα με το 1ο μέλος του τύπου (20.2.5 - 2) είναι

$$\begin{aligned} \oint_C \mathbf{F} \cdot d\mathbf{r} &= \int_0^{2\pi} \mathbf{F}[\mathbf{r}(t) \cdot \mathbf{r}'(t)] dt \\ &= \int_0^{2\pi} [P(t)x'(t) + Q(t)y'(t) + R(t)z'(t)] dt \\ &= -48 \int_0^{2\pi} \sin^2 t dt = -48\pi. \quad (20.2.5 - 5) \end{aligned}$$

### Υπολογισμός του επιφανειακού ολοκληρώματος

Αρχικά υπολογίζεται ο στροβιλισμός του διανυσματικού πεδίου  $F = 3y \mathbf{i} + 4z \mathbf{j} - 6x \mathbf{k}$  ως εξής:

$$\mathbf{G} = \nabla \times \mathbf{F} = \begin{vmatrix} \mathbf{i} & \mathbf{j} & \mathbf{k} \\ \frac{\partial}{\partial x} & \frac{\partial}{\partial y} & \frac{\partial}{\partial z} \\ 3y & 4z & -6x \end{vmatrix} = -4\mathbf{i} + 6\mathbf{j} - 3\mathbf{k}.$$

<sup>15</sup>Η εξίσωση του παραβολοειδούς είναι της μορφής  $z = g(x, y)$ , οπότε μια παραμετρική εξίσωσή του είναι δυνατόν να προκύψει από την παραμετρική εξίσωση της  $g(x, y)$ , που είναι στην περίπτωση αυτή ο κυκλικός δίσκος στο  $xy$ -επίπεδο κέντρου  $(0, 0)$  και ακτίνας  $R = 4$  (Σχ. 20.2.5 - 2b).

Αρα χρησιμοποιώντας τους τύπους (20.2.5 – 3) έχουμε

$$x = R \cos \theta, \quad z = R \sin \theta, \quad \text{όταν } \theta \in [0, 2\pi), \quad R \in [0, 4].$$

Έστω

$$\theta \rightarrow u \quad \text{και} \quad R = v.$$

Επειδή η εξίσωση του παραβολοειδούς είναι  $z = 16 - x^2 - y^2$ , σύμφωνα με την παραπάνω παραμετρική μορφή των  $x, y$  πρέπει

$$z = 16 - v^2 \sin^2 u - v^2 \cos^2 u = 16 - v^2,$$

οπότε η παραμετρική εξίσωση είναι

$$\begin{aligned} \mathbf{r}(u, v) &= X(u, v) \mathbf{i} + Y(u, v) \mathbf{j} + Z(u, v) \mathbf{k} \\ &= v \sin u \mathbf{i} + v \cos u \mathbf{j} + (16 - v^2) \mathbf{k}, \end{aligned}$$

όταν

$$T = \{(u, v) : u \in [0, 2\pi] \quad \text{και} \quad v \in [0, 4]\}.$$

Τότε

$$x = X(u, v) = v \sin u, \quad y = Y(u, v) = v \cos u, \quad \text{και}$$

$$z = Z(u, v) = 16 - v^2.$$

---

<sup>15</sup>Βλέπε ανάλογη λύση στο Παράδειγμα 20.2.3 - 1.

Προφανώς είναι

$$\mathbf{G} [\mathbf{r}(u, v)] = -4 \mathbf{i} + 6 \mathbf{j} - 3 \mathbf{k} = \langle -4, 6, -3 \rangle. \quad (20.2.5 - 6)$$

Είναι

$$\frac{\partial \mathbf{r}}{\partial u} = -v \sin u \mathbf{i} + v \cos u \mathbf{j} + 0 \mathbf{k},$$

$$\frac{\partial \mathbf{r}}{\partial v} = \cos u \mathbf{i} + \sin u \mathbf{j} - 2v \mathbf{k},$$

οπότε το θεμελιώδες διανυσματικό γινόμενο θα ισούται με

$$\begin{aligned} \mathbf{w} &= \frac{\partial \mathbf{r}}{\partial u} \times \frac{\partial \mathbf{r}}{\partial v} = \begin{vmatrix} \mathbf{i} & \mathbf{j} & \mathbf{k} \\ -v \sin u & v \cos u & 0 \\ \cos u & \sin u & -2v \end{vmatrix} \\ &= -2v^2 \cos u \mathbf{i} - 2v^2 \sin u \mathbf{j} - v \mathbf{k} \\ &= \langle -2v^2 \cos u, -2v^2 \sin u, -v \rangle. \end{aligned} \quad (20.2.5 - 7)$$

Επειδή πρέπει το διάνυσμα  $\mathbf{w}$  να έχει τη θετική διεύθυνση του  $z$ -άξονα, από τις (20.2.5 - 6) και (20.2.5 - 7) προκύπτει τότε ότι

$$\begin{aligned} \mathbf{G} \cdot (-\mathbf{w}) &= \langle -4, 6, -3 \rangle \cdot \langle 2v^2 \cos u, 2v^2 \sin u, v \rangle \\ &= -8v^2 \cos u + 12v^2 \sin u - 3v, \end{aligned} \quad (20.2.5 - 8)$$

οπότε αντικαθιστώντας στο 2ο μέλος του τύπου (20.2.5 - 2) διαδοχικά έχουμε:

$$\begin{aligned} \iint_S \mathbf{G} \cdot d\mathbf{s} &= \iint_T \mathbf{G} [\mathbf{r}(u, v)] \cdot (-\mathbf{w}) du dv \\ &= - \int_0^{2\pi} \left[ \int_0^4 (-3v - 8v^2 \cos u + 12v^2 \sin u) dv \right] du \\ &= - \int_0^{2\pi} \left( -24 - \frac{512}{3} \cos u + 256 \sin u \right) du \quad (20.2.5 - 9) \\ &= -48\pi \end{aligned} \quad (20.2.5 - 10)$$

Από τις  $(20.2.5 - 5)$  και  $(20.2.5 - 10)$  προκύπτει τότε ότι ισχύει ο τύπος του Stokes.

Η γραφική παράσταση του κυκλικού δίσκου στο  $\Sigma$ . 20.2.5 - 2b έγινε με την παρακάτω εντολή του MATHEMATICA:

```
ParametricPlot[{X[u, v], Y[u, v]}, {u, 0, 2 Pi}, {v, 0, 4},
AxesLabel -> {"y", "x"}, PlotStyle -> Directive[Opacity[0.7], LightYellow],
BaseStyle -> {FontFamily -> "Arial", FontSize -> 14}]
```

**Θεώρημα 20.2.5 - 2 (απόκλισης).** <sup>16</sup> Εστω  $V$  ένα <sup>17</sup> συμπαγές (*compact*) στερεό που περιβάλλεται εξωτερικά από μία κλειστή κατά τμήματα λεία επιφάνεια  $S$ . Τότε, αν  $\mathbf{F}$  είναι ένα διανυσματικό πεδίο που ορίζεται στο  $V$  και έχει παραγώγους πρώτης τάξης συνεχείς συναρτήσεις, ισχύει

$$\iiint_V \nabla \cdot \mathbf{F} dV = \oint_S \oint_S \mathbf{F} \cdot d\mathbf{s} = \oint_S \oint_S \mathbf{F} \cdot \mathbf{n} ds, \quad (20.2.5 - 11)$$

όταν  $\mathbf{n}$  το μοναδιαίο κάθετο διάνυσμα στην  $S$  με φορά προς το εξωτερικό της  $S$ .

### Σημείωση 20.2.5 - 1

Το θεώρημα εκφράζει μία σχέση μεταξύ ενός τριπλού ολοκληρώματος, που ορίζεται σε ένα στερεό και ενός ολοκληρώματος που ορίζεται σε μία επιφάνεια  $S$  και περιβάλλει το στερεό.

### Τύπος υπολογισμού

Αν

•

$$\mathbf{F} = \mathbf{F}(x, y, z) = P \mathbf{i} + Q \mathbf{j} + R \mathbf{k}, \quad \text{τότε} \quad \nabla \cdot \mathbf{F} = P_x + Q_y + R_z$$

**Βαθμωτή συνάρτηση**, δηλαδή το 1ο μέλος είναι ένα τριπλό ολοκλήρωμα.

---

<sup>16</sup> Βλέπε επίσης [http://en.wikipedia.org/wiki/Divergence\\_theorem](http://en.wikipedia.org/wiki/Divergence_theorem) και γενικότερη αναζήτηση σε **divergence theorem**. Είναι γνωστό επίσης και ως **θεώρημα του Gauss** ή **θεώρημα του Ostrogradsky**.

<sup>17</sup> Συμπαγές θεωρείται ένα στερεό, όταν είναι κλειστό και φραγμένο.

- Η επιφάνεια  $S$  στο επιφανειακό ολοκλήρωμα  $\iint_S \mathbf{F} \cdot d\mathbf{s}$  του τύπου (20.2.5–11) έχει παραμετρική εξίσωση  $\mathbf{r}(u, v)$ , όταν  $(u, v) \in T$  με θεμελιώδες διανυσματικό γινόμενο  $\mathbf{w} = \mathbf{r}_u \times \mathbf{r}_v$ ,

τότε ο τύπος (20.2.5 – 11) γράφεται

$$\iiint_V (P_x + Q_y + R_z) dV = \iint_T \mathbf{F}[\mathbf{r}(u, v)] \cdot \mathbf{w} du dv. \quad (20.2.5 - 12)$$

### Παράδειγμα 20.2.5 - 2

Εφαρμόζοντας το Θεώρημα της απόκλισης να υπολογιστεί το ολοκλήρωμα

$$\oint_S \oint \mathbf{F} \cdot d\mathbf{s}, \quad \text{όταν } \mathbf{F} = 2x \mathbf{i} + y^2 \mathbf{j} + z^2 \mathbf{k}$$

και  $S$  η μοναδιαία σφαίρα με εξίσωση  $S = \{(x, y, z) \in \mathbb{R}^3 : x^2 + y^2 + z^2 = 1\}$ .

**Λύση.** Έστω

$$\mathbf{F} = \mathbf{F}(x, y, z) = P \mathbf{i} + Q \mathbf{j} + R \mathbf{k} = 2x \mathbf{i} + y^2 \mathbf{j} + z^2 \mathbf{k},$$

οπότε  $P = 2x$ ,  $Q = y^2$  και  $R = z^2$ .

Τότε

$$\nabla \cdot \mathbf{F} = P_x + Q_y + R_z = 2 + 2y + 2z.$$

Άρα σύμφωνα με τον τύπο (20.2.5 – 12) έχουμε

$$\begin{aligned} \oint_S \oint \mathbf{F} \cdot d\mathbf{s} &= \iiint_V (P_x + Q_y + R_z) dV \\ &= 2 \iiint_V (1 + y + z) dV \\ &= 2 \iiint_V 1 dV + 2 \iiint_V y dV + 2 \iiint_V z dV \\ &= 2 \frac{4\pi}{3} + 2 \cdot 0 + 2 \cdot 0 = \frac{8\pi}{3}, \end{aligned}$$

επειδή ο όγκος  $V$  της σφαίρας ακτίνας  $r$  είναι<sup>18</sup>

$$V = \iiint_V 1 dV = \frac{4\pi r^3}{3} \stackrel{r=1}{=} \frac{4\pi}{3}$$

και λόγω συμμετρίας

$$\iiint_V y dV = \iiint_V z dV = 0.$$

Με τη βοήθεια του Θεωρήματος 20.2.5 - 2 αποδεικνύεται το παρακάτω σημαντικό θεώρημα:

**Θεώρημα 20.2.5 - 3 (Gauss).** Έστω  $S$  μία τυχούσα κλειστή επιφάνεια. Αν  $Oxyz$  είναι ένα ορθογώνιο σύστημα αξόνων και  $\mathbf{r}$  το διάνυσμα θέσης τυχόντος σημείου  $(x, y, z)$  της  $S$ , τότε το επιφανειακό ολοκλήρωμα

$$\iint_S \frac{\mathbf{r} \cdot \mathbf{n}}{r^3} ds, \quad (20.2.5 - 13)$$

όπου  $\mathbf{n}$  το μοναδιαίο κάθετο διάνυσμα στην  $S$ , ισούται με

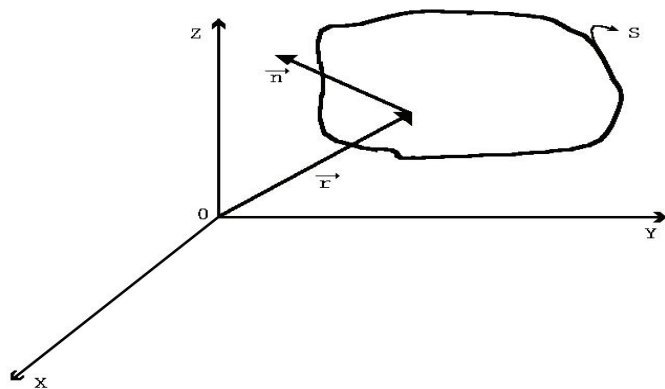
- i) το μηδέν, αν το  $O$  βρίσκεται έξω από την  $S$  ( $\Sigma\chi.$  20.2.5 - 3),
- ii)  $4\pi$ , όταν το  $O$  βρίσκεται στο εσωτερικό της  $S$  ( $\Sigma\chi.$  20.2.5 - 4).

### Γεωμετρική ερμηνεία του θεωρήματος του Gauss

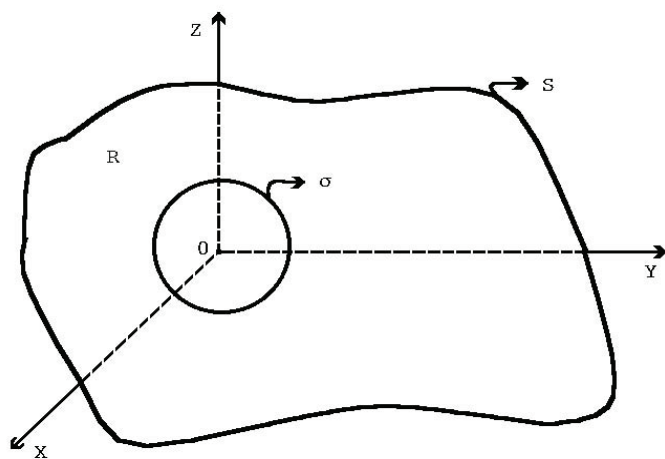
Αν  $dS$  είναι μία στοιχειώδης επιφάνεια, τότε ενώνονται όλα τα σημεία που αποτελούν το σύνορό της με την αρχή  $O$  και με αυτόν τον τρόπο δημιουργείται ένας κώνος με βάση  $dS$  και κορυφή το  $O$  ( $\Sigma\chi.$  20.2.5 - 5). Στη συνέχεια ο κώνος αυτός τέμνεται με μία σφαίρα που έχει κέντρο το  $O$  και ακτίνα  $r$  και συμβολίζεται με  $d\Omega$  η τομή αυτή. Τότε, όπως είναι γνωστό, η στερεά γωνία  $d\omega$ , που αντιστοιχεί στην επιφάνεια  $dS$  και έχει κορυφή το  $O$ , ισούται με

---

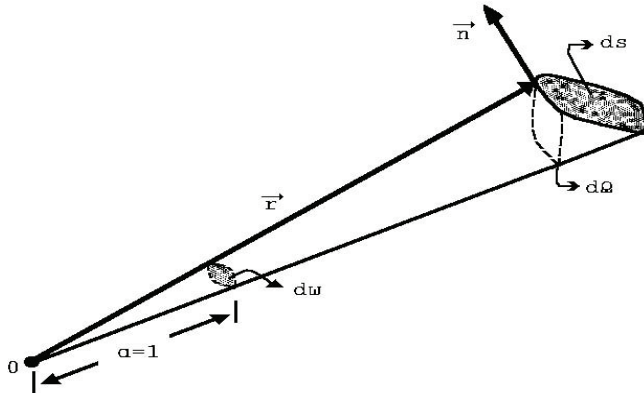
<sup>18</sup>Βλέπε Μάθημα Πολλαπλά Ολοκληρώματα - Εφαρμογές τριπλού ολοκληρώματος και <http://en.wikipedia.org/wiki/Volume>



**Σχήμα 20.2.5 - 3:** Θεώρημα 20.2.5 - 3 του Gauss - περίπτωση (i).



**Σχήμα 20.2.5 - 4:** Θεώρημα 20.2.5 - 3 του Gauss - περίπτωση (ii).



**Σχήμα 20.2.5 - 5:** γεωμετρική ερμηνεία θεωρήματος 20.2.5 - 3 του Gauss.

$$d\omega = \frac{d\Omega}{r^2}, \quad (20.2.5 - 14)$$

ενώ η αριθμητική της τιμή θα είναι ίση με το εμβαδόν της τομής του κώνου με τη σφαίρα που έχει για κέντρο το  $O$  και ακτίνα  $\alpha = 1$ .

Έστω  $\mathbf{n}$  το μοναδιαίο κάθετο διάνυσμα στην επιφάνεια  $dS$  και έστω επίσης ότι  $\theta$  είναι η γωνία που σχηματίζουν τα διανύσματα  $\mathbf{r}$  και  $\mathbf{n}$ . Τότε από τον ορισμό του εσωτερικού γινομένου έχουμε

$$\mathbf{r} \cdot \mathbf{n} = |\mathbf{r}| |\mathbf{n}| \cos \theta = r \cos \theta,$$

δηλαδή

$$\cos \theta = \frac{\mathbf{r} \cdot \mathbf{n}}{r},$$

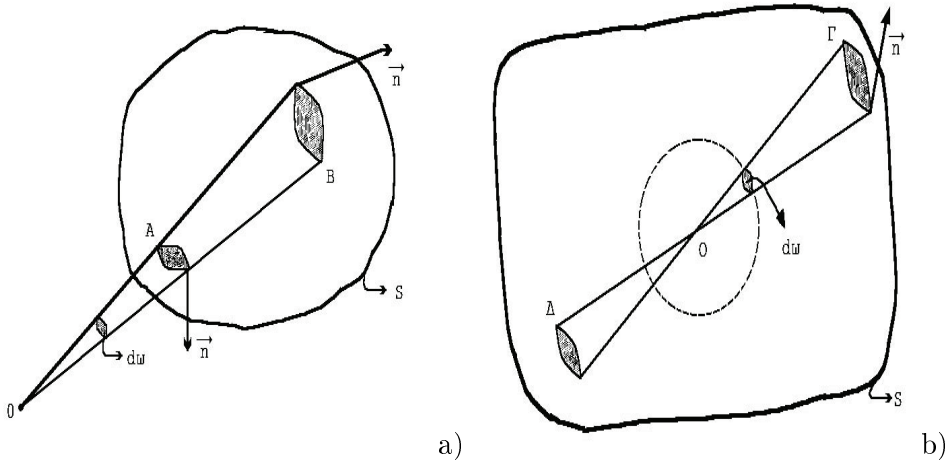
οπότε

$$d\Omega = \pm \cos \theta dS = \pm \frac{\mathbf{n} \cdot \mathbf{r}}{r} dS.$$

Αντικαθιστώντας την παραπάνω σχέση στην (20.2.5 - 14) προκύπτει

$$d\omega = \pm \frac{\mathbf{r} \cdot \mathbf{n}}{r^3} dS,$$

όπου το πρόσημο εξαρτάται από το είδος της γωνίας  $\theta$  (τίθεται το +, αν η γωνία  $\theta$  είναι δεξιόστροφη, διαφορετικά το -).



**Σχήμα 20.2.5 - 6:** γεωμετρική ερμηνεία Θεωρήματος 20.2.5 - 3 του Gauss - περιπτώσεις: (i)  $\Sigma\chi.$  (a) και (ii)  $\Sigma\chi.$  (b).

Αν τώρα το  $O$  βρίσκεται έξω από την επιφάνεια  $S$  ( $\Sigma\chi.$  20.2.5 - 6a), τότε η στερεά γωνία  $d\omega$  στη θέση  $A$  είναι ίση με

$$d\omega = - \left( \mathbf{r} \cdot \frac{\mathbf{n}}{r^3} \right) dS,$$

ενώ στη θέση  $B$  ίση με

$$d\omega = \frac{\mathbf{r} \cdot \mathbf{n}}{r^3} dS.$$

Προφανώς τότε το επιφανειακό ολοκλήρωμα υπεράνω των επιφανειών αυτών είναι 0.

Αν, τέλος, το σημείο  $O$  βρίσκεται στο εσωτερικό της  $S$  ( $\Sigma\chi.$  20.2.5 - 6b), τότε στις θέσεις  $\Gamma$  και  $\Delta$  είναι

$$d\omega = \left( \mathbf{r} \cdot \frac{\mathbf{n}}{r^3} \right) dS,$$

οπότε τα επιφανειακά ολοκληρώματα υπεράνω και των δύο αυτών επιφανειών θα προστίθενται.

Η ολική στερεά γωνία, όταν η ολοκλήρωση γίνεται υπεράνω της  $S$ , ισούται με το εμβαδόν της επιφάνειας μιας σφαίρας με κέντρο το  $O$  και ακτίνα  $\alpha = 1$ , δηλαδή είναι ίση με  $4\pi$ .



### 20.3 Βιβλιογραφία

- [1] Μπράτσος, Α. (2011). *Εφαρμοσμένα Μαθηματικά*. Εκδόσεις Α. Σταμούλη. ISBN 978-960-351-874-7.
- [2] Μπράτσος, Α. (2002). *Ανώτερα Μαθηματικά*. Εκδόσεις Α. Σταμούλη. ISBN 960-351-453-5/978-960-351-453-4.
- [3] Apostol, T. (1962). *Διαφορικός και Ολοκληρωτικός Λογισμός II*. Εκδόσεις Ατλαντίς-Μ. Πεχλιβανίδης. ISBN 61-11601.
- [4] Finney, R. L. & Giordano, F. R. (2004). *Απειροστικός Λογισμός II*. Πανεπιστημιακές Εκδόσεις Κρήτης. ISBN 978-960-524-184-1.
- [5] Marsden, J.E. & Tromba, A.J. (2011). *Διανυσματικός Λογισμός*. Πανεπιστημιακές Εκδόσεις Κρήτης. ISBN 978-960-730-945-7.
- [6] Spiegel, M. & Wrede, R. (2006). *Ανώτερα Μαθηματικά*. Εκδόσεις Τζιόλα. ISBN 960-418-087-8.

### Μαθηματικές βάσεις δεδομένων

- [http://en.wikipedia.org/wiki/Main\\_Page](http://en.wikipedia.org/wiki/Main_Page)
- <http://eqworld.ipmnet.ru/index.htm>
- <http://mathworld.wolfram.com/>
- <http://eom.springer.de/>